

B. Elektrodynamik

grundlegende Größen der Elektrodynamik : $\vec{E}(\vec{r}, t)$ → elektrisches Feld
 $\vec{B}(\vec{r}, t)$ → magnetisches Feld

Quellen dieser Felde : $\rho(\vec{r}, t)$ → Ladungsdichte
 $\vec{j}(\vec{r}, t)$ → Stromdichte

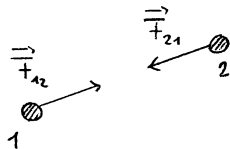
Grundgleichungen der Elektrodynamik : Maxwell-Gleichungen → Kap. B.3
 ↳ vier gekoppelte, partielle Dgl. für $\vec{E}(\vec{r}, t)$ und $\vec{B}(\vec{r}, t)$

im statischen Fall, d.h. $\frac{\partial}{\partial t} \dots = 0$

→ Aufteilung in  zwei Dgl. für $\vec{E}(\vec{r})$: Elektrostatik Kap. B.1
 zwei Dgl. für $\vec{B}(\vec{r})$: Magnetostatik Kap. B.2

B.1. Elektrostatik

betrachte zwei Punktladungen am Ort $\vec{r}_{1/2}$
 mit Ladung $q_{1/2}$



für die Kraft \vec{F}_{12} auf die Punktladung 1
 gilt das Coulomb-Gesetz :

$$\vec{F}_{12} = k q_1 q_2 \frac{\vec{r}_1 - \vec{r}_2}{|\vec{r}_1 - \vec{r}_2|^3}$$

Eigenschaften :

→ Coulomb-Kraft ist eine Zentralkraft mit $f(r) = k q_1 q_2 \frac{1}{r^2}$ (siehe Kap. A.1)

→ $\vec{F}_{12} = -\vec{F}_{21}$ (3. Newtonsches Axiom)

→ $q_1 q_2 > 0$ abstoßende Kraft

$q_1 q_2 < 0$ anziehende Kraft

Wahl des Einheitensystems

symbolisch : [...] : Einheit von ...

$$\rightarrow \underbrace{[\text{Kraft}]}_{= N} = [\kappa q_1 q_2] \cdot \underbrace{\left[\frac{1}{r^2} \right]}_{= \frac{1}{m^2}} \Rightarrow \underbrace{[\kappa q_1 q_2]}_{= [\kappa][q]^2} = N \text{ m}^2$$

d.h. Aufteilung nach $[\kappa]$ und $[q]$ nicht eindeutig

Gauß-System : $\kappa = 1$

$$\rightarrow [\kappa] = 1$$

alternativ: SI - System $\kappa = \frac{1}{4\pi \epsilon_0} = 10^{-7} \frac{Nc^2}{A^2}$

ϵ_0 : Dielektrizitätskonstante des Vakuums

das elektrische Feld

jetzt: N Punktladungen q_1, \dots, q_N an den Orten $\vec{r}_1, \dots, \vec{r}_N$

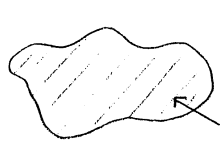
→ Kraft \vec{F} auf eine weitere Ladung q am Ort \vec{r}

$$\boxed{\vec{F}(\vec{r}) = \sum_{i=1}^N q_i q_i \frac{\vec{r} - \vec{r}_i}{|\vec{r} - \vec{r}_i|^3} =: q \vec{E}(\vec{r})}$$

d.h.: Definition des elektrischen Feldes $\vec{E}(\vec{r})$ einer Ladungsverteilung über die Kraft \vec{F} einer „Probeladung“ q

$$\Rightarrow \vec{E}(\vec{r}) = \sum_{i=1}^N q_i \frac{\vec{r} - \vec{r}_i}{|\vec{r} - \vec{r}_i|^3} \quad \vec{E}(\vec{r}) \text{ ist ein Vektorfeld}$$

→ elektrisches Feld für eine kontinuierliche Ladungsverteilung:



• ← Probeladung am Ort \vec{r}

Ladungsdichte $g(\vec{r}')$

$$\Rightarrow \boxed{\vec{E}(\vec{r}) = \int d^3 r' g(\vec{r}') \frac{\vec{r} - \vec{r}'}{|\vec{r} - \vec{r}'|^3}} \quad (*)$$

$\int d^3 r \dots$: Volumenintegral $\int_V d^3 r g(\vec{r}) = Q$: die im Volumen V enthaltene Ladung

→ Ladungsdichte einer diskreten Ladungsverteilung

wie oben: N Punktladungen → $g(\vec{r}) = \sum_{i=1}^N q_i \delta(\vec{r} - \vec{r}_i)$

mit $\delta(\vec{r})$ der dreidimensionalen δ -Funktion

$$\delta(\vec{r}) \equiv \delta^3(\vec{r}) := \delta(x) \delta(y) \delta(z)$$

Eigenschaften: . $\int d^3 r \delta^3(\vec{r}) = \underbrace{\int_{-\infty}^{\infty} dx \delta(x)}_{=1} \underbrace{\int_{-\infty}^{\infty} dy \delta(y)}_{=1} \underbrace{\int_{-\infty}^{\infty} dz \delta(z)}_{=1} = 1$

. $\int d^3 r A(\vec{r}) \delta^3(\vec{r} - \vec{r}') = A(\vec{r}')$

Einsetzen dieser $g(\vec{r})$ in (*):

$$\vec{E}(\vec{r}) = \int d^3 r' \sum_{i=1}^N q_i \delta(\vec{r}' - \vec{r}_i) \frac{\vec{r} - \vec{r}'}{|\vec{r} - \vec{r}'|^3} =$$

$$= \sum_{i=1}^N q_i \underbrace{\int d^3 r' \delta(\vec{r}' - \vec{r}_i) \frac{\vec{r} - \vec{r}'}{|\vec{r} - \vec{r}'|^3}}_{=} = \frac{\vec{r} - \vec{r}_s}{|\vec{r} - \vec{r}_s|^3}$$

das elektrostatische Potential

es gilt $\vec{\nabla} \times \vec{E}(\vec{r}) = \vec{0}$ für eine beliebige Ladungsverteilung $\rho(\vec{r}')$ (siehe Übungen)

→ es existiert ein skalares Potential $\phi(\vec{r})$ (das elektrostatische Potential)

mit :
$$\boxed{\vec{E}(\vec{r}) = -\vec{\nabla} \phi(\vec{r})}$$

und es gilt :
$$\boxed{\phi(\vec{r}) = \int d^3 r' \frac{\rho(\vec{r}')}{|\vec{r} - \vec{r}'|}}$$
 in den Übungen : $-\vec{\nabla} \phi(\vec{r}) = \dots$

Quellen des elektrischen Feldes

$\operatorname{div} \vec{E}(\vec{r}) = \vec{\nabla} \cdot \vec{E}(\vec{r})$: Divergenz von $\vec{E}(\vec{r})$ entspricht dem Quellenfeld von $\vec{E}(\vec{r})$

es gilt : $\operatorname{div} \vec{E}(\vec{r}) = 4\pi \rho(\vec{r})$

Beweis :
$$\begin{aligned} \operatorname{div} \vec{E}(\vec{r}) &= \vec{\nabla} \cdot \int d^3 r' \rho(\vec{r}') \frac{\vec{r} - \vec{r}'}{|\vec{r} - \vec{r}'|^3} \\ &= \int d^3 r' \rho(\vec{r}') \underbrace{\vec{\nabla} \cdot \frac{\vec{r} - \vec{r}'}{|\vec{r} - \vec{r}'|^3}}_! = 4\pi \delta(\vec{r} - \vec{r}') \quad (\text{Beweis siehe Übungen}) \\ &= 4\pi \int d^3 r' \rho(\vec{r}') \delta(\vec{r} - \vec{r}') = 4\pi \rho(\vec{r}) \quad \checkmark \end{aligned}$$

damit folgen die Grundgleichungen der Elektrostatik für das elektrische Feld :

$$\boxed{\vec{\nabla} \cdot \vec{E}(\vec{r}) = 4\pi \rho(\vec{r})} \quad \text{und} \quad \boxed{\vec{\nabla} \times \vec{E}(\vec{r}) = \vec{0}}$$

Poisson-Gleichung:

bilde $\underbrace{\vec{\nabla} \cdot (\vec{\nabla} \phi(\vec{r}))}_{= \Delta \phi} = -\vec{\nabla} \cdot \vec{E}(\vec{r}) = -4\pi \rho(\vec{r})$
 mit dem Laplace-Operator $\Delta = \frac{\partial^2}{\partial x^2} + \frac{\partial^2}{\partial y^2} + \frac{\partial^2}{\partial z^2}$

$\Rightarrow \boxed{\Delta \phi(\vec{r}) = -4\pi \rho(\vec{r})} \rightarrow \text{Poisson-Gleichung}$

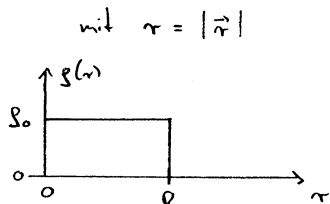
das Grundproblem der Elektrostatisik:

gegeben: Ladungsverteilung $\rho(\vec{r})$

gesucht: $\vec{E}(\vec{r})$ oder $\Phi(\vec{r})$

Beispiel: Feld einer homogen geladenen Kugel (Radius R)

$$\text{Ladungsdichte } \rho(r) = \begin{cases} \rho_0 & : 0 \leq r \leq R \\ 0 & : r > R \end{cases}$$



→ Beschreibung des Problems in Kugelkoordinaten r, ϑ, φ

das elektrostatische Potential: $\Phi = \Phi(r)$

→ unabhängig von ϑ und φ

$$\Rightarrow \vec{E}(\vec{r}) = -\vec{\nabla}\Phi(r) = -\underbrace{\Phi'(r)}_{= E(r)} \vec{e}_r = E(r) \vec{e}_r \quad \text{mit } \vec{e}_r = \frac{\vec{r}}{r}$$

Berechnung von $E(r)$ mit Hilfe des Gauß'schen Satzes:

$$\oint_{F_v} \vec{E} \cdot d\vec{f} = \int_V dV \underbrace{\vec{\nabla} \cdot \vec{E}}_{= 4\pi \rho(r)} \quad \text{mit } V: \text{Volumen einer Kugel mit Radius } r \text{ um } \vec{O}$$

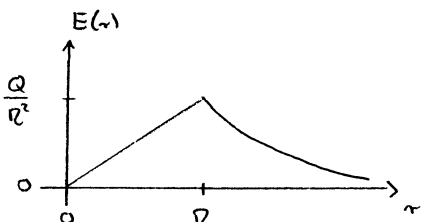
linke Seite: auf der Fläche F_v gilt $\vec{E}(\vec{r}) = \underbrace{E(r) \vec{e}_r}_{= \text{const}} \quad \text{und} \quad \vec{E} \parallel d\vec{f}$

$$\Rightarrow \oint_{F_v} \vec{E} \cdot d\vec{f} = E(r) F_v = E(r) 4\pi r^2$$

rechte Seite: $= 4\pi \int_V dV \rho(r) = \begin{cases} 4\pi Q & : r > R \\ 4\pi Q \frac{r^3}{R^3} & : 0 \leq r \leq R \end{cases}$

$$\text{mit } Q = \frac{4\pi}{3} \rho_0 R^3$$

$$\Rightarrow E(r) = \begin{cases} \frac{Q}{r^2} & : r > R \\ Q \frac{r}{R^3} & : 0 \leq r \leq R \end{cases}$$



die elektrostatische Energie

potentielle Energie eines Systems aus N wechselwirkenden Massenpunkten:

$$V = \sum_{i,j} V_{ij} \quad \text{hier: } V_{ij} = \frac{q_i q_j}{|\vec{r}_i - \vec{r}_j|}$$

→ die von Teilchen j auf Teilchen i ausgeübte Kraft:

$$\vec{F}_{ij} = -\vec{\nabla}_i V_{ij} = q_i q_j \frac{\vec{r}_i - \vec{r}_j}{|\vec{r}_i - \vec{r}_j|^3} \quad \leftarrow \text{Coulomb-Kraft}$$

schreibe $V = \frac{1}{2} \sum_{i,j} \frac{q_i q_j}{|\vec{r}_i - \vec{r}_j|}$ davon ausgehend: Übergang zum Kontinuum

$$\Rightarrow \boxed{V = \frac{1}{2} \int d^3r \int d^3r' \frac{g(\vec{r}) g(\vec{r}')}{|\vec{r} - \vec{r}'|}} \quad [\vec{r} = \vec{r}' \text{ bei Integration ausgenommen}]$$

↪ Wechselwirkungsenergie einer kontinuierlichen Ladungsverteilung mit sich selbst

$$\rightarrow V = \frac{1}{2} \underbrace{\int d^3r g(\vec{r}) \int d^3r' \frac{g(\vec{r}')}{|\vec{r} - \vec{r}'|}}_{= \Phi(\vec{r})} = \frac{1}{2} \int d^3r g(r) \phi(\vec{r}) = \dots$$

$$= \Phi(\vec{r}) = \frac{1}{4\pi} \vec{\nabla} \cdot \vec{E}(\vec{r}) = -\frac{1}{4\pi} \Delta \phi(\vec{r})$$

$$\dots = -\frac{1}{8\pi} \int d^3r [\Delta \phi(\vec{r})] \phi(\vec{r}) = \frac{1}{8\pi} \int d^3r |\vec{\nabla} \phi|^2$$

partielle Integration $= |\vec{E}(\vec{r})|^2$

$$\Rightarrow \boxed{V = \frac{1}{8\pi} \int d^3r |\vec{E}(\vec{r})|^2}$$

Def.: $\boxed{u(\vec{r}) = \frac{1}{8\pi} |\vec{E}(\vec{r})|^2}$ Energiedichte des elektrischen Feldes

$$\Rightarrow V = \int d^3r u(\vec{r})$$

Beispiel: elektrostatische Energie der homogen geladenen Kugel

Energiedichte: $u(\vec{r}) = \frac{1}{8\pi} E(r)^2 = \begin{cases} \frac{1}{8\pi} \frac{Q^2}{r^4} & : r > R \\ \frac{1}{8\pi} \frac{Q^2 r^2}{R^6} & : 0 \leq r \leq R \end{cases}$

↓
hängt nur von r ab $\rightarrow u(r)$

gesamte elektrostatische Energie:

$$V = \int d^3r u(r) \quad \rightarrow \text{Ausweitung des Volumenintegrals in Kugelkoordinaten } r, \vartheta, \varphi$$

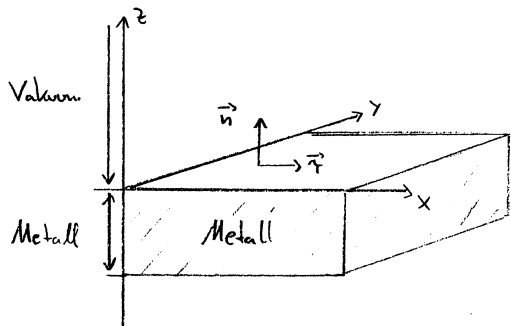
es gilt: $\int d^3r a(r, \vartheta, \varphi) = \int_0^{R_0} r^2 dr \int_0^\pi \sin \vartheta d\vartheta \int_0^{2\pi} d\varphi a(r, \vartheta, \varphi)$

↪ Volumen einer Kugel mit Radius R_0

$$\text{speziell für } a=1 : \int_V d^3r = \underbrace{\int_0^R r^2 dr}_{=\frac{1}{3} R^3} \underbrace{\int_0^\pi \sin\theta d\theta}_{=2} \underbrace{\int_0^{2\pi} d\varphi}_{=2\pi} = \frac{4}{3} R^3 \pi \quad \checkmark$$

$$\begin{aligned} \text{hier: } V &= \int_0^\infty dr r^2 u(r) \int_0^\pi \sin\theta d\theta \int_0^{2\pi} d\varphi = \\ &= 4\pi \frac{Q^2}{8\pi} \left[\int_0^R dr \frac{r^4}{R^4} + \int_R^\infty dr \frac{1}{r^2} \right] = \\ &= \frac{1}{2} Q^2 \left[\frac{1}{R^4} \frac{1}{5} [r^5]_0^R - \left[\frac{1}{r} \right]_R^\infty \right] = \frac{3}{5} \frac{Q^2}{R} \rightarrow \text{divergiert für } R \rightarrow 0 \end{aligned}$$

elektrostatische Randbedingungen



betrachte die Grenzfläche zwischen einem metallischen Leiter und dem Vakuum

gesucht: Randbedingungen für $\vec{E}(r)$ an der Grenzfläche

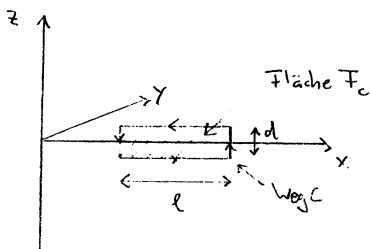
im Metall: frei bewegliche Ladungen

\Rightarrow es muss gelten $\vec{E}_1 = \vec{0}$ bzw. $\Phi_1 = \text{const.}$

denn: falls $\vec{E}_1 \neq \vec{0}$ \rightarrow auf die Ladungen wirken Kräfte

\Rightarrow Verschiebung der Ladungen solange bis $\vec{E}_1 = \vec{0}$

a) tangentiale Randbedingungen



C : geschlossener Weg, der die Grenzfläche umschließt

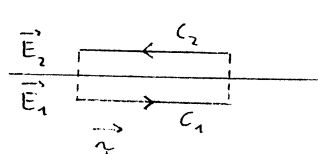
$d \ll l$

Stokes'sche Satz für das elektrische Feld: $\oint_C \vec{E} \cdot d\vec{r} = \int_{F_c} (\vec{v} \times \vec{E}) \cdot d\vec{F} = 0 = \vec{0}$

Ausweitung des Linienintegrals:

$$\oint_C \vec{E} \cdot d\vec{r} = \int_{C_1} \vec{E}_1 \cdot d\vec{r} + \int_{C_2} \vec{E}_2 \cdot d\vec{r} = l \vec{E}_1 \cdot \vec{\tau} - l \vec{E}_2 \cdot \vec{\tau} \stackrel{!}{=} 0$$

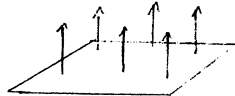
$d \ll l$



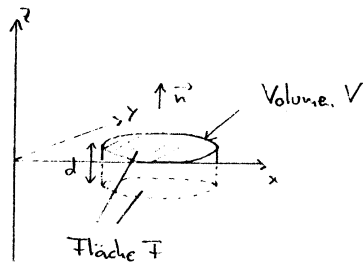
\vec{E}_1, \vec{E}_2 auf Integrationsweg konstant

$$\rightarrow \vec{n} \cdot \vec{E}_1 = \vec{n} \cdot \vec{E}_2$$

- d.h.: • die Tangentialkomponente $\vec{n} \cdot \vec{E}$ ist stetig
• $\vec{E}_1 = \vec{0} \Rightarrow \vec{n} \cdot \vec{E}_2 = 0 \rightarrow$ die Feldlinien stehen \perp auf der Oberfläche des Leiters



b3 normale Randbedingungen



Gauß'sche Satz:

$$\oint_{F_v} \vec{E} \cdot d\vec{f} = \int_V dV \nabla \cdot \vec{E} = 4\pi \int_V g(\vec{r}) dV = 4\pi g(\vec{r}) = q$$

q : die in V enthaltene Ladung

Ausweitung des Flächenintegrals:

$$\oint_{F_v} \vec{E} \cdot d\vec{f} = \int_{F_1} \vec{E}_1 \cdot d\vec{f} + \int_{F_2} \vec{E}_2 \cdot d\vec{f} = \vec{E}_1 \cdot \vec{F}_1 + \vec{E}_2 \cdot \vec{F}_2$$

$\lim d \rightarrow 0$

\vec{E}_1, \vec{E}_2 auf Integrationsfläche konstant

$$\vec{F}_1 = -\vec{n} \cdot \vec{F}, \quad \vec{F}_2 = \vec{n} \cdot \vec{F}$$

$$\Rightarrow \oint_{F_v} \vec{E} \cdot d\vec{f} = \vec{F} (\vec{n} \cdot \vec{E}_2 - \vec{n} \cdot \vec{E}_1) = 4\pi q$$

Def.: Oberflächenladungsdichte

$$\sigma = \frac{q}{A}$$

und damit

$$\vec{n} \cdot \vec{E}_2 - \vec{n} \cdot \vec{E}_1 = 4\pi \sigma$$

d.h.: die Normalkomponente $\vec{n} \cdot \vec{E}$ springt an der Oberfläche von $4\pi \sigma$

$$\vec{E}_1 = 0 \rightarrow \vec{n} \cdot \vec{E}_2 = 4\pi \sigma$$

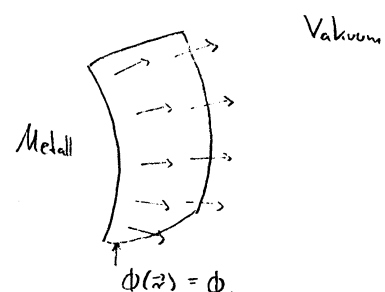
Zusammenhang mit den Randbedingungen für das Potential:

für ein skalares Feld $\Phi(\vec{r})$ gilt:

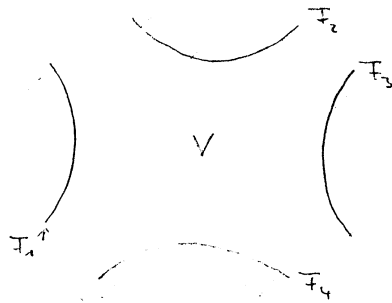
$\nabla \Phi(\vec{r})$ steht \perp auf den Flächen mit $\Phi(\vec{r}) = \text{const.}$

Hier: Oberfläche des Metalls = Äquipotentialfläche

$$\rightarrow \Phi(\vec{r}) = \Phi_1 = \text{const.}$$



allgemeine Formulierung des Randwertproblems



gegeben:

- Volumen V , begrenzt durch (getrennte) Metallflächen F_i
- Ladungsdichte $\rho(\vec{r})$ in V
- Randbedingungen $\Phi(\vec{r}) \Big|_{\vec{r} \in F_i} = \Phi_i$

$$\text{sei } F = F_1 \cup F_2 \cup F_3 \cup F_4$$

Dirichlet - Randbedingung

$$\Phi(\vec{r}) \Big|_{\vec{r} \in F} = \Phi_o(\vec{r})$$

das Randwertproblem lautet also:

| |
|--|
| $\Delta \Phi(\vec{r}) = -4\pi \rho(\vec{r}) \quad \text{für } \vec{r} \in V$ |
| $\Phi(\vec{r}) = \Phi_o(\vec{r}) \quad \text{für } \vec{r} \in F$ |

→ Poisson - Gleichung

→ Dirichlet - Randbedingung

aus der Lösung für das Potential $\Phi(\vec{r})$ folgt:

$$\sigma(\vec{r}) = \frac{1}{4\pi} \vec{n}(\vec{r}) \cdot \vec{E}(\vec{r}) = -\frac{1}{4\pi} \vec{n}(\vec{r}) \cdot \vec{\nabla} \Phi(\vec{r}) \quad \vec{r} \in F$$

↪ Normalevektor auf der Oberfläche

→ Ladungverteilung $\rho(\vec{r})$ ($\vec{r} \in V$) induziert Ladungverteilung $\sigma(\vec{r})$ ($\vec{r} \in F$) auf den (Metall-)Oberflächen

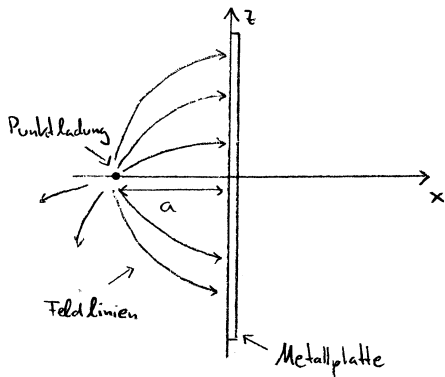
alternative Formulierung des Randwertproblems

| |
|--|
| $\vec{\nabla} \cdot \vec{E}(\vec{r}) = 4\pi \rho(\vec{r}) \quad \text{für } \vec{r} \in V$ |
| $\vec{n}(\vec{r}) \cdot \vec{E}(\vec{r}) = 4\pi \sigma(\vec{r}) \quad \text{für } \vec{r} \in F$ |

→ Neumannsche Randbedingung

d.h.: die Oberflächenladungsdichte (und damit die Normalkomponente des elektrischen Feldes) ist vorgegeben

Beispiel für ein Randwertproblem



- Volumen $V = \{ \vec{r} = (x, y, z) \in \mathbb{R}^3 \mid x < 0 \}$
- Oberfläche des Metalls
 $\Gamma = \{ \vec{r} \in \mathbb{R}^3 \mid x = 0 \}$
- Ladungsdichte in V : $g(\vec{r}) = q \delta(\vec{r} - \vec{a})$
mit $\vec{a} = (-a, 0, 0)$
d.h. Punktladung am Ort \vec{a}

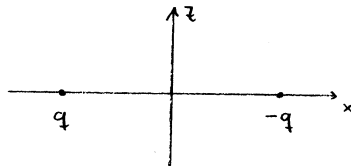
Dirichlet-Randbedingung: $\phi(\vec{r}) = 0$ für $\vec{r} \in \Gamma$

→ Lösung des Problems mit Hilfe der Bildladungsmethode

betrachte folgendes Problem:

- Ladungsverteilung $g_0(\vec{r}) = q \delta(\vec{r} - \vec{a}) - q \delta(\vec{r} + \vec{a})$

d.h. zusätzliche Ladung $-q$ bei $-\vec{a}$



- Keine Randbedingungen

Potential für dieses Problem:

$$\boxed{\Phi_0(\vec{r}) = \int d^3 r' \frac{g_0(\vec{r}')}{|\vec{r} - \vec{r}'|} = q \frac{1}{|\vec{r} - \vec{a}|} - q \frac{1}{|\vec{r} + \vec{a}|}}$$

Behauptung:

das Potential $\Phi_0(\vec{r})$ löst das Randwertproblem

zu zeigen ist:

$$1. \Delta \Phi_0(\vec{r}) = -4\pi g_0(\vec{r}) \quad \text{für } \vec{r} \in V$$

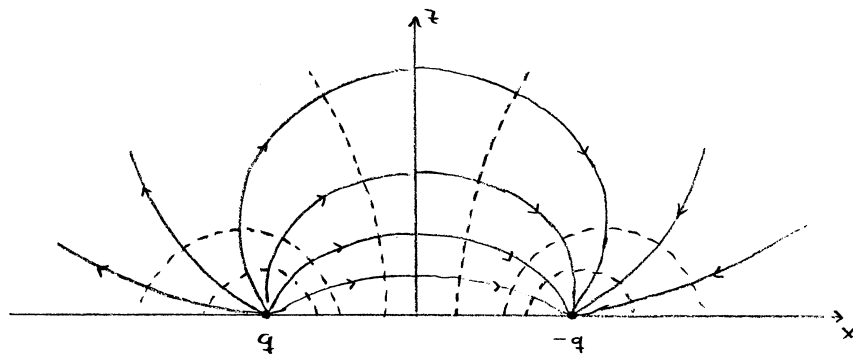
$$\begin{aligned} \text{ist erfüllt, da } \Delta \Phi_0(\vec{r}) &= -4\pi g_0(\vec{r}) = -4\pi \left[\underbrace{q \delta(\vec{r} - \vec{a})}_{= g(\vec{r})} - \underbrace{q \delta(\vec{r} + \vec{a})}_{= 0} \right] \\ &= g(\vec{r}) \quad \text{für } \vec{r} \in V \end{aligned} \quad \checkmark$$

$$2. \Phi_0(\vec{r}) = 0 \quad \text{für } \vec{r} \in \Gamma$$

$$\text{setze } \vec{r} = (0, y, z) \rightarrow \vec{r} \pm \vec{a} = (\mp a, y, z), |\vec{r} \pm \vec{a}| = \sqrt{a^2 + y^2 + z^2}$$

$$\Rightarrow \Phi_0(\vec{r} = (0, y, z)) = \frac{1}{\sqrt{a^2 + y^2 + z^2}} (q - q) = 0 \quad \checkmark$$

→ Darstellung der Feldlinien ($E(\vec{r})$) und Aquipotentialflächen ($\Phi_0(\vec{r}) = \text{const.}$) für $y = 0$



für das elektrische Feld folgt damit:

$$\vec{E}(\vec{r}) = -\vec{\nabla}\Phi_0(\vec{r}) = q \frac{\vec{r}-\vec{a}}{|\vec{r}-\vec{a}|^3} - q \frac{\vec{r}+\vec{a}}{|\vec{r}+\vec{a}|^3}$$

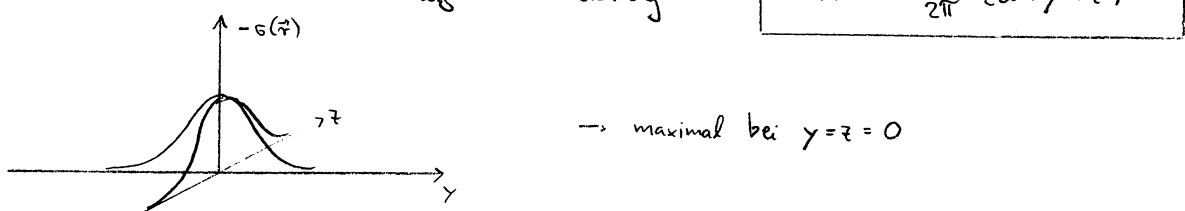
$$\rightarrow \vec{E}(\vec{r} = (0, y, z)) = \frac{q}{(a^2 + y^2 + z^2)^{3/2}} \left[\begin{pmatrix} a \\ y \\ z \end{pmatrix} - \begin{pmatrix} -a \\ y \\ z \end{pmatrix} \right] = \frac{q}{(a^2 + y^2 + z^2)^{3/2}} \begin{pmatrix} 2a \\ 0 \\ 0 \end{pmatrix}$$

das bedeutet: $\vec{n} \cdot \vec{E} = 0 \rightarrow$ die Feldlinien stehen \perp auf der Metallplatte

$$\vec{n} \cdot \vec{E} = -\frac{2aq}{(a^2 + y^2 + z^2)^{3/2}} \rightarrow \text{damit folgt für die Oberflächenladungsdichte:}$$

\downarrow
 \vec{n} zeigt in $-x$ -Richtung

$$\sigma(\vec{r}) = -\frac{aq}{2\pi} (a^2 + y^2 + z^2)^{-3/2}$$



\rightarrow maximal bei $y=z=0$

$$\text{Gesamtladung auf der Metallplatte: } q_{\text{infl}} = \int_{-\infty}^{\infty} dy \int_{-\infty}^{\infty} dz \sigma(\vec{r}) = -q$$

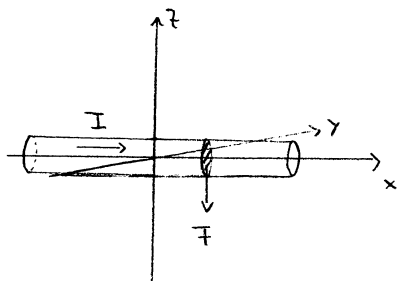
\hookrightarrow „Influenzladung“

B.2 Magnetostatik

Ladungsdichte $\rho(\vec{r}, t) \Rightarrow$ elektrisches Feld $\vec{E}(\vec{r}, t)$ mit $\vec{\nabla} \cdot \vec{E}(\vec{r}, t) = 4\pi\rho(\vec{r}, t)$

Stromdichte $\vec{j}(\vec{r}, t) \Rightarrow$ magnetisches Feld $\vec{B}(\vec{r}, t)$ mit ?

Zunächst: Definition der Stromdichte



\rightarrow Strom durch einen Draht mit Querschnittsfläche $F = \pi R^2$

$$\Rightarrow \text{Strom} = \frac{\text{Ladung}}{\text{Zeit}}, \quad I = \frac{\Delta q}{\Delta t}$$

$$\text{Stromdichte} = \frac{\text{Strom}}{\text{Fläche}} , \quad j = \frac{I}{F}$$

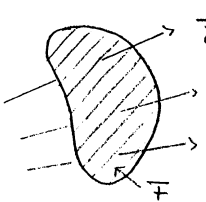
Richtung des Stroms: hier $\rightarrow \vec{e}_x$ $\Rightarrow \vec{j} = j \vec{e}_x$

\rightarrow die Stromdichte ist ein Vektorfeld

$$\text{hier: } \vec{j}(\vec{r}, t) = \begin{cases} j \vec{e}_x & : r^2 + z^2 \leq R^2 \\ 0 & : \text{sonst} \end{cases}$$

stationärer Strom

\rightarrow Berechnung des Stroms durch eine Fläche F für ein gegebenes $\vec{j}(\vec{r}, t)$



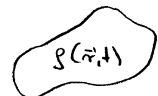
$$\vec{j}(\vec{r}) \quad I = \int_F \vec{j}(\vec{r}) \cdot d\vec{F} \quad \text{Flächenintegral}$$

speziell für $\vec{j} \parallel \vec{F}$, j auf der Fläche konstant

$$\Rightarrow I = j \cdot F = j F \quad \checkmark$$

Strom = bewegte Ladung

gegeben: Ladungsdichte $g(\vec{r}, t)$



Annahme: die Bewegung der Ladungsverteilung wird durch ein Geschwindigkeitsfeld $\vec{v}(\vec{r}, t)$ beschrieben

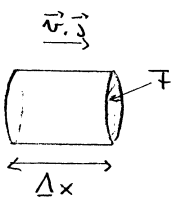
dann gilt:
$$\vec{j}(\vec{r}, t) = g(\vec{r}, t) \vec{v}(\vec{r}, t) \quad (*)$$

Beispiel: Strom durch einen Draht (wie oben)

$$g(\vec{r}, t) = \begin{cases} g_0 & : r^2 + z^2 \leq R^2 \\ 0 & : \text{sonst} \end{cases} \quad \text{und} \quad \vec{v}(\vec{r}, t) = v \vec{e}_x = \text{const}$$

$$\Rightarrow \vec{j}(\vec{r}) = \begin{cases} g_0 v \vec{e}_x & : r^2 + z^2 \leq R^2 \\ 0 & : \text{sonst} \end{cases} \Rightarrow j = g_0 v$$

und damit $I = j F = g_0 v F = \underbrace{g_0}_{\downarrow} \underbrace{\Delta x F}_{v = \frac{\Delta x}{\Delta t} = \Delta V} \frac{1}{\Delta t} = \underbrace{g_0 \Delta V}_{\Delta q} \frac{1}{\Delta t} = \frac{\Delta q}{\Delta t}$

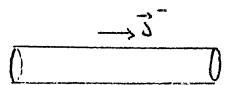


Δq : die im Volumen ΔV enthaltene Ladung

= die Ladung, die in der Zeit Δt die Fläche F durchströmt

Gl. (*) gilt nicht, falls ...

Beispiel: metallischer Draht



$$g(\vec{r}, t) = g^+(\vec{r}, t) + g^-(\vec{r}, t) = 0$$

↓ ↓

Ladungsdichten der positiven/negativen Ladungen

es gilt: $\vec{v}^+(\vec{r}, t) = \vec{0}$: die positiven Ladungen ruhen

$$\vec{v}^-(\vec{r}, t) = \vec{v}^- \neq \vec{0}$$

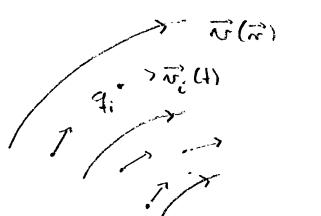
$$\begin{aligned} \rightarrow \vec{j}(\vec{r}, t) &= \underbrace{\vec{j}^+(\vec{r}, t)}_{= g^+(\vec{r}, t) \vec{v}^+} + \underbrace{\vec{j}^-(\vec{r}, t)}_{= g^-(\vec{r}, t) \vec{v}^-} \neq \underbrace{g(\vec{r}, t) \vec{v}(\vec{r}, t)}_{= 0} = \vec{0} \\ &= \vec{0} \end{aligned}$$

Stromdichte einer diskreten Ladungsverteilung

Ausgangspunkt: $\vec{j}(\vec{r}, t) = g(\vec{r}, t) \vec{v}(\vec{r})$ (stationäres Geschwindigkeitsfeld)

mit $g(\vec{r}, t) = \sum_{i=1}^N q_i \delta(\vec{r} - \vec{r}_i(t))$

↳ beschreibt Punktladungen q_i an den Orten $\vec{r}_i(t)$



$$\vec{v}_i(t) = \dot{\vec{r}}_i(t) \stackrel{!}{=} \vec{v}(\vec{r}_i(t))$$

d.h. alle Punktladungen bewegen sich in einem Geschwindigkeitsfeld

$$\begin{aligned} \Rightarrow \vec{j}(\vec{r}, t) &= \sum_{i=1}^N q_i \underbrace{\vec{v}(\vec{r}) \delta(\vec{r} - \vec{r}_i(t))}_{= \vec{v}(\vec{r}_i(t)) \delta(\vec{r} - \vec{r}_i(t))} \end{aligned}$$

und damit

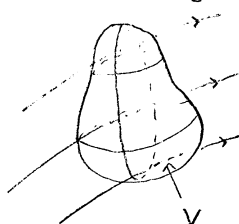
$$\boxed{\vec{j}(\vec{r}, t) = \sum_{i=1}^N q_i \vec{v}_i(t) \delta(\vec{r} - \vec{r}_i(t))}$$

Kontinuitätsgleichung

$$\vec{j}(\vec{r}, t)$$

→ Strom I durch Oberfläche T_V des Volumens V

es gilt:



$$I = \oint_{T_V} \vec{j}(\vec{r}, t) \cdot d\vec{T} = \int_V dV \vec{v} \cdot \vec{j}(\vec{r}, t)$$

Gauß'sche Satz

$$\text{außerdem: } I = \frac{\Delta q}{\Delta t} \quad \text{mit} \quad \Delta q = - (q(t+\Delta t) - q(t))$$

mit $q(t)$ der im Volumen V zur Zeit t enthaltenen Ladung (Vorzeichen)

$$\rightarrow q(t) = \int_V dV \rho(\vec{r}, t)$$

$$\Rightarrow \lim_{\Delta t \rightarrow 0} \frac{\Delta q}{\Delta t} = - \int_V dV \underbrace{\lim_{\Delta t \rightarrow 0} \frac{1}{\Delta t} [\rho(\vec{r}, t+\Delta t) - \rho(\vec{r}, t)]}_{= \frac{\partial}{\partial t} \rho(\vec{r}, t)}$$

$$\text{und damit: } \int_V dV \vec{\nabla} \cdot \vec{j}(\vec{r}, t) = - \int_V dV \frac{\partial}{\partial t} \rho(\vec{r}, t)$$

$$\text{gilt für beliebige } V \Rightarrow \boxed{\frac{\partial}{\partial t} \rho(\vec{r}, t) + \vec{\nabla} \cdot \vec{j}(\vec{r}, t) = 0} \quad \text{Kontinuitätsgleichung}$$

$$\text{im statischen Fall: } \frac{\partial}{\partial t} \rho(\vec{r}, t) = 0 \Rightarrow \vec{\nabla} \cdot \vec{j}(\vec{r}, t) = 0$$

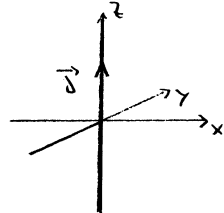
Magnetfeld

eine stationäre Stromdichte $\vec{j}(\vec{r})$ erzeugt ein Magnetfeld $\vec{B}(\vec{r})$ gemäß:

$$\boxed{\vec{B}(\vec{r}) = \frac{1}{c} \int d^3 r' \vec{j}(\vec{r}') \times \frac{\vec{r} - \vec{r}'}{|\vec{r} - \vec{r}'|^3}} \quad (*)$$

Beispiel: Magnetfeld eines (unendlich dünnen) Drahts mit der Stromdichte

$$\vec{j}(\vec{r}) = j \delta(x) \delta(y) \vec{e}_z$$



Einsetzen in (*):

$$\begin{aligned} \vec{B}(\vec{r}) &= \frac{1}{c} \int_{-\infty}^{\infty} dx' \int_{-\infty}^{\infty} dy' \int_{-\infty}^{\infty} dz' \underbrace{\begin{pmatrix} 0 \\ 0 \\ j \delta(x') \delta(y') \end{pmatrix} \times \begin{pmatrix} x - x' \\ y - y' \\ z - z' \end{pmatrix}}_{= \begin{pmatrix} -j \delta(x) \delta(y) (y - y') \\ j \delta(x) \delta(y) (x - x') \\ 0 \end{pmatrix}} \frac{1}{[(x-x')^2 + (y-y')^2 + (z-z')^2]^{3/2}} \\ &= \begin{pmatrix} -j \delta(x) \delta(y) (y - y') \\ j \delta(x) \delta(y) (x - x') \\ 0 \end{pmatrix} \end{aligned}$$

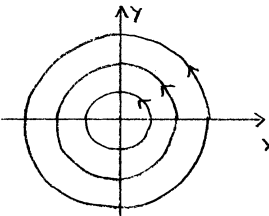
$$= \frac{j}{c} \begin{pmatrix} -y \\ x \\ 0 \end{pmatrix} \int_{-\infty}^{\infty} dz' \frac{1}{[x^2 + y^2 + (z-z')^2]^{3/2}} = \dots$$

verwende Zylinderkoordinaten $\rho, \varphi, z \rightarrow \begin{pmatrix} -\gamma \\ x \\ 0 \end{pmatrix} = \rho \vec{e}_\varphi, x^2 + y^2 = \rho^2$

$$\dots = \frac{\delta}{c} \rho \vec{e}_\varphi \underbrace{\int_{-\infty}^{\infty} dz' \frac{1}{[\rho^2 + (z-z')^2]^{3/2}}}_{= \int_{-\infty}^{\infty} dz'' \frac{1}{[\rho^2 + z''^2]^{3/2}}} \quad \text{Substitution: } z'' = z - z'$$

$$= \frac{1}{\rho^2} \left[\frac{z''}{[\rho^2 + z''^2]^{1/2}} \right]_{-\infty}^{\infty} = \frac{2}{\rho^2}$$

$$\Rightarrow \boxed{\vec{B}(\vec{r}) = \frac{2\delta}{c} \frac{\vec{e}_\varphi}{\rho}}$$



→ Feldlinien sind Kreise um die z-Achse

Kraft auf eine Punktladung

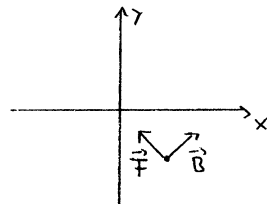
betrachte Punktladung q_i am Ort \vec{r}_i , Geschwindigkeit \vec{v}_i , im Magnetfeld $\vec{B}(\vec{r})$

→ Kraft auf die Punktladung

$$\boxed{\vec{F}_i = \frac{1}{c} q_i \vec{v}_i \times \vec{B}(\vec{r}_i)}$$

Beispiel: $\vec{B}(\vec{r}) = \alpha \vec{e}_\varphi, \vec{v}_i = v \vec{e}_z$

$$\Rightarrow \vec{F}_i = \frac{\alpha}{c} q_i v \underbrace{\vec{e}_z \times \vec{e}_\varphi}_{= -\vec{e}_\rho}$$



Vektorpotential

ausgehend von Gl. (*) für $\vec{B}(\vec{r}) \rightarrow$ es gilt $\frac{\vec{r} - \vec{r}'}{|\vec{r} - \vec{r}'|^3} = - \vec{\nabla}_{\vec{r}'} \frac{1}{|\vec{r} - \vec{r}'|}$

$$\Rightarrow \vec{B}(\vec{r}) = - \frac{1}{c} \int d^3 r' \vec{j}(\vec{r}') \times \underbrace{\left[\vec{\nabla}_{\vec{r}'} \frac{1}{|\vec{r} - \vec{r}'|} \right]}_{= -\vec{\nabla}_{\vec{r}'} \times \frac{\vec{j}(\vec{r}')}{|\vec{r} - \vec{r}'|}}$$

$$= -\vec{\nabla}_{\vec{r}'} \times \frac{\vec{j}(\vec{r}')}{|\vec{r} - \vec{r}'|} \quad \text{folgt aus } \vec{\nabla} \times (\vec{a} f(\vec{r})) = -\vec{a} \times \vec{\nabla} f(\vec{r})$$

$$= \vec{\nabla}_{\vec{r}} \times \left[\frac{1}{c} \int d^3 r' \frac{\vec{j}(\vec{r}')}{|\vec{r} - \vec{r}'|} \right] = \vec{\nabla} \times \vec{A}(\vec{r})$$

mit dem Vektorpotential

$$\boxed{\vec{A}(\vec{r}) = \frac{1}{c} \int d^3 r' \frac{\vec{j}(\vec{r}')}{|\vec{r} - \vec{r}'|} + \vec{\nabla} \Lambda(\vec{r})}$$

mit $\Lambda(\vec{r})$ einem beliebigen skalaren Feld

→ da Term $\vec{\nabla} \lambda(\vec{r})$ trägt nicht zu $\vec{B}(\vec{r})$ bei, da $\vec{\nabla} \times (\vec{\nabla} \lambda(\vec{r})) = \vec{0}$

d.h.: das Vektorpotential ist bis auf ein Gradientenfeld bestimmt!

Festlegung von $\vec{A}'(\vec{r})$ bzw. $\lambda(\vec{r}) = \text{Eichung}$

- Eichtransformation: $\vec{A}'(\vec{r}) = \vec{A}(\vec{r}) + \vec{\nabla} \lambda(\vec{r})$

Beispiel: Coulombbeichung

→ setze $\lambda(\vec{r}) = 0$, diese Wahl führt zu $\boxed{\operatorname{div} \vec{A}'(\vec{r}) = 0}$

$$\begin{aligned} \text{denn: } \vec{\nabla} \cdot \vec{A}(\vec{r}) &= \frac{1}{c} \int d^3 r' \underbrace{\vec{\nabla}_{\vec{r}} \cdot \left(\frac{\vec{j}(\vec{r}')}{|\vec{r} - \vec{r}'|} \right)}_{= \vec{j}(\vec{r}') \cdot \vec{\nabla}_{\vec{r}} \frac{1}{|\vec{r} - \vec{r}'|}} + \underbrace{\vec{\nabla} \cdot (\vec{\nabla} \lambda(\vec{r}))}_{= \Delta \lambda(\vec{r})} = \dots \\ &= \vec{j}(\vec{r}') \cdot \vec{\nabla}_{\vec{r}} \frac{1}{|\vec{r} - \vec{r}'|} = \Delta \lambda(\vec{r}) = 0 \text{ wegen } \lambda(\vec{r}) = 0 \end{aligned}$$

$$\text{es gilt: } \vec{\nabla}_{\vec{r}} \frac{1}{|\vec{r} - \vec{r}'|} = - \vec{\nabla}_{\vec{r}'} \frac{1}{|\vec{r} - \vec{r}'|}$$

$$\dots = - \frac{1}{c} \int d^3 r' \underbrace{\vec{j}(\vec{r}') \cdot \vec{\nabla}_{\vec{r}'} \frac{1}{|\vec{r} - \vec{r}'|}}_{\text{partielle Integration}}$$

$$\text{partielle Integration: } = \underbrace{\oint \frac{1}{|\vec{r} - \vec{r}'|} \vec{j}(\vec{r}') \cdot d\vec{r}}_{\text{verschwindet, falls } \vec{j}(\vec{r}) \text{ auf}} - \int d^3 r' \frac{1}{|\vec{r} - \vec{r}'|} \underbrace{\vec{\nabla}_{\vec{r}'} \cdot \vec{j}(\vec{r}')}_{= 0}$$

endliches Raumgebiet beschränkt

Grundgleichungen der Magnetostatik

- Divergenz des Magnetfelds:

$$\text{aus } \vec{B}(\vec{r}) = \vec{\nabla} \times \vec{A}(\vec{r}) \text{ folgt } \vec{\nabla} \cdot \vec{B}(\vec{r}) = \vec{\nabla} \cdot (\vec{\nabla} \times \vec{A}(\vec{r})) = 0$$

→ Wirbelfelder sind quellenfrei

- Rotation des Magnetfelds:

$$\vec{\nabla} \times \vec{B}(\vec{r}) = \vec{\nabla} \times (\vec{\nabla} \times \vec{A}) = \vec{\nabla} (\vec{\nabla} \cdot \vec{A}) - \Delta \vec{A} = \dots$$

verwende die Coulombbeichung für das Vektorpotential:

$$\rightarrow \vec{\nabla} \cdot \vec{A}(\vec{r}) = 0$$

$$\rightarrow \lambda(\vec{r}) = 0 \Rightarrow \vec{A}(\vec{r}) = \frac{1}{c} \int d^3 r' \frac{\vec{j}(\vec{r}')}{|\vec{r} - \vec{r}'|}$$

$$\dots = - \frac{1}{c} \int d^3 r' \frac{\vec{j}(\vec{r}')}{|\vec{r} - \vec{r}'|} \Delta_{\vec{r}} \frac{1}{|\vec{r} - \vec{r}'|} = \dots$$

$$\text{es gilt : } \Delta_{\vec{r}} \frac{1}{|\vec{r} - \vec{r}'|} = \vec{\nabla}_{\vec{r}} \cdot \left(\vec{\nabla}_{\vec{r}} \frac{1}{|\vec{r} - \vec{r}'|} \right) = - \vec{\nabla}_{\vec{r}} \cdot \frac{\vec{r} - \vec{r}'}{|\vec{r} - \vec{r}'|^3} = \\ = - 4\pi \delta(\vec{r} - \vec{r}') \quad (\text{siehe Übungen})$$

$$\dots = \frac{4\pi}{c} \int d^3 r' \vec{j}(\vec{r}') \delta(\vec{r} - \vec{r}') = \frac{4\pi}{c} \vec{j}(\vec{r})$$

damit folgt für die Grundgleichungen der Magnetostatik :

| |
|--|
| $\vec{\nabla} \cdot \vec{B}(\vec{r}) = 0$ |
| $\vec{\nabla} \times \vec{B}(\vec{r}) = \frac{4\pi}{c} \vec{j}(\vec{r})$ |

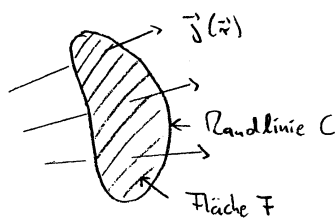
→ es gibt keine magnetischen Monopole

alternativ : Grundgleichung für das Vektorpotential

$$\text{in der Coulombbeziehung gilt : } \vec{\nabla} \times \vec{B}(\vec{r}) = - \Delta \vec{A}(\vec{r})$$

$$\Rightarrow \boxed{\Delta \vec{A}(\vec{r}) = - \frac{4\pi}{c} \vec{j}(\vec{r})} \quad \text{das Magnetfeld folgt dann aus } \vec{B}(\vec{r}) = \vec{\nabla} \times \vec{A}(\vec{r})$$

Ampère-Gesetz



es gilt

$$\boxed{I_F = \frac{c}{4\pi} \oint_C \vec{B} \cdot d\vec{r}}$$

d.h. Strom durch die Fläche $F = \text{Linienintegral über den Rand der Fläche}$

$$\text{folgt aus : } \oint_C \vec{B} \cdot d\vec{r} \stackrel{\text{Stokes}}{=} \int_F \underbrace{(\vec{\nabla} \times \vec{B}) \cdot d\vec{f}}_{= \frac{4\pi}{c} \vec{j}(\vec{r})} = \frac{4\pi}{c} \underbrace{\int_F \vec{j}(\vec{r}) \cdot d\vec{f}}_{= I_F} \quad \checkmark$$

B.3 Maxwellgleichungen

aus den Grundgleichungen der Elektrostatik und Magnetostatik folgt :

→ keine Kopplung zwischen $\vec{E}(\vec{r})$ und $\vec{B}(\vec{r})$

↳ gilt nicht mehr für zeitabhängige Vorgänge

⇒ Verallgemeinerung der Feldgleichungen

Maxwell-Gleichungen

| | |
|--|---|
| $\vec{\nabla} \cdot \vec{E}(\vec{r}, t) = 4\pi \rho(\vec{r}, t)$ | $\vec{\nabla} \times \vec{E}(\vec{r}, t) + \frac{1}{c} \frac{\partial}{\partial t} \vec{B}(\vec{r}, t) = \vec{0}$ |
| $\vec{\nabla} \times \vec{B}(\vec{r}, t) - \frac{1}{c} \frac{\partial}{\partial t} \vec{E}(\vec{r}, t) = \frac{4\pi}{c} \vec{j}(\vec{r}, t)$ | $\vec{\nabla} \cdot \vec{B}(\vec{r}, t) = 0$ |

→ Grundgleichungen der Elektrodynamik

aufßerdem: Lorentzkraft

$$\vec{F}_L = q (\vec{E}(\vec{r}, t) + \frac{\vec{v}}{c} \times \vec{B}(\vec{r}, t))$$

→ Kraft auf eine Punktladung q am Ort \vec{r} , Geschwindigkeit \vec{v} , im elektrischen Feld $\vec{E}(\vec{r}, t)$ und magnetischen Feld $\vec{B}(\vec{r}, t)$

Diskussion der Zusatzterme

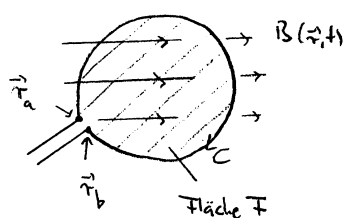
1. $\frac{1}{c} \frac{\partial}{\partial t} \vec{B}(\vec{r}, t)$: Induktion

Maxwell-Gleichung: $\vec{\nabla} \times \vec{E}(\vec{r}, t) = -\frac{1}{c} \frac{\partial}{\partial t} \vec{B}(\vec{r}, t)$ | $\int_F d\vec{F} \dots$

$$\underbrace{\int_F (\vec{\nabla} \times \vec{E}(\vec{r}, t)) \cdot d\vec{F}}_{\text{Stokes}} = -\frac{1}{c} \frac{\partial}{\partial t} \underbrace{\int_F \vec{B}(\vec{r}, t) \cdot d\vec{F}}$$

$$= \oint_C \vec{E}(\vec{r}, t) \cdot d\vec{r} = \Phi_F(t) : \text{magnetischer Fluss durch die Fläche } F$$

Weg C → Drahtschleife



$$\int_{r_a, C}^{r_b} \vec{E}(\vec{r}) \cdot d\vec{r} = -(\Phi(r_b) - \Phi(r_a)) = U$$

U : Spannung zwischen den Punkten r_a und r_b

⇒ Faradaysches Induktionsgesetz

$$U = -\frac{1}{c} \frac{d\Phi_F}{dt}$$

d.h. die zeitliche Änderung des Flusses durch die Drahtschleife induziert eine Spannung

↪ - Änderung von $\vec{B}(\vec{r}, t)$

oder - Bewegung der Schleife

$$2. \frac{1}{c} \frac{\partial}{\partial t} \vec{E}(\vec{r}, t) : \text{Verschiebungsstrom}$$

folgt aus der Konsistenz der Maxwellgleichungen mit der Kontinuitätsgleichung

Schreibe: $\vec{\nabla} \times \vec{B}(\vec{r}, t) - \vec{f}(\vec{r}, t) = \frac{4\pi}{c} \vec{j}(\vec{r}, t) \quad (*)$

zu zeigen: $\vec{f}(\vec{r}, t) = \frac{1}{c} \frac{\partial}{\partial t} \vec{E}(\vec{r}, t)$

→ bilde $\vec{\nabla} \cdot$ (*):

$$\underbrace{\vec{\nabla} \cdot (\vec{\nabla} \times \vec{B}(\vec{r}, t))}_{=0} - \vec{\nabla} \cdot \vec{f}(\vec{r}, t) = \frac{4\pi}{c} \underbrace{\vec{\nabla} \cdot \vec{j}(\vec{r}, t)}_{= -\frac{\partial}{\partial t} g(\vec{r}, t)} \leftarrow \text{Kontinuitätsgleichung}$$

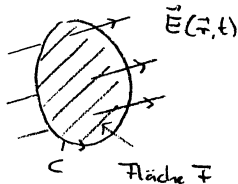
$$\Rightarrow \vec{\nabla} \cdot \vec{f}(\vec{r}, t) = \frac{4\pi}{c} \frac{\partial}{\partial t} g(\vec{r}, t) = \frac{1}{4\pi} \vec{\nabla} \cdot \vec{E}(\vec{r}, t) \leftarrow \text{Maxwell-Gleichung}$$

und damit $\vec{\nabla} \cdot \vec{f}(\vec{r}, t) = \vec{\nabla} \cdot \left[\frac{1}{c} \frac{\partial}{\partial t} \vec{E}(\vec{r}, t) \right]$

identisch (bis auf ein Wirbelfeld)

experimentelle Begründung des Zusatzterms

Maxwell-Gleichung für $\vec{j}(\vec{r}, t) = \vec{0}$: $\vec{\nabla} \times \vec{B}(\vec{r}, t) = \frac{1}{c} \frac{\partial}{\partial t} \vec{E}(\vec{r}, t)$



zeitliche Änderung des elektrischen Flusses erzeugt ein Magnetfeld

$$\oint_C \vec{B}(\vec{r}, t) \cdot d\vec{r} = \frac{1}{c} \frac{d}{dt} \Phi_F^{el}(t)$$

A. Dynamik des elektromagnetischen Feldes

A1. elektromagnetische Wellen

Ausgangspunkt sind die Maxwell-Gleichungen:

$$\boxed{\begin{array}{l} \vec{\nabla} \cdot \vec{B} = 0 \\ \vec{\nabla} \times \vec{E} + \frac{1}{c} \frac{\partial \vec{B}}{\partial t} = 0 \\ \vec{\nabla} \cdot \vec{E} = 4\pi \rho \\ \vec{\nabla} \times \vec{B} - \frac{1}{c} \frac{\partial \vec{E}}{\partial t} = \frac{4\pi}{c} \vec{j} \end{array}}$$

↓

homogene Maxwell-Gln.
→ enthalten keine Quellen

↓

inhomogene Maxwell-Gln.

alle auftretenden Felder sind Funktionen von (\vec{r}, t) : $\vec{B} = \vec{B}(\vec{r}, t)$ etc.
 $\hookrightarrow \vec{B}, \vec{E}, \rho, \vec{j}$

\vec{B} : magnetisches Feld

ρ : Ladungsdichte

\vec{E} : elektrisches Feld

\vec{j} : Staudichte

c : Lichtgeschwindigkeit

$\vec{\nabla}$: Nabla-Operator

$$\vec{\nabla} = \left(\frac{\partial}{\partial x}, \frac{\partial}{\partial y}, \frac{\partial}{\partial z} \right), \quad \vec{r} = (x, y, z)$$

typische Aufgabe:

→ ρ und \vec{j} sind vorgegeben

\Rightarrow berechne die Felder \vec{E} und \vec{B} über die Lösung der Maxwell-Gln

d.h. Lösung gekoppelter, partieller Differentialgleichungen → schwierig

"einfache" Beispiele:

a) Elektrostatisches, d.h. $\vec{B} = 0$, alle Zeitableitungen = 0, ($\vec{j} = 0$)

\Rightarrow Feldgleichungen der Elektrostatisik

$$\boxed{\begin{array}{l} \vec{\nabla} \cdot \vec{E} = 4\pi \rho \\ \vec{\nabla} \times \vec{E} = 0 \end{array}}$$

ρ vorgegeben, \vec{E} gesucht

b) Magnetostatik, d.h. $\vec{E} = 0$, alle Zeitableitungen = 0

\Rightarrow Feldgleichungen der Magnetostatik

$$\boxed{\begin{aligned}\vec{\nabla} \cdot \vec{B} &= 0 \\ \vec{\nabla} \times \vec{B} &= \frac{4\pi}{c} \vec{j}\end{aligned}}$$

betrachte nun: $\rho = 0$ und $\vec{j} = 0$

in der Elektrostatisik bzw. Magnetostatik bedeutet dies $\vec{E} = 0$, $\vec{B} = 0$

aber: es gibt Lösungen der (vollen) Maxwellgleichungen für $\rho = 0$ und $\vec{j} = 0$
mit $\vec{E} \neq 0$, $\vec{B} \neq 0$! \rightarrow elektromagnetische Wellen

Behauptung:

für $\rho = 0$, $\vec{j} = 0$ sind die ebenen Wellen der Form

$$\boxed{\begin{aligned}\vec{E}(\vec{r}, t) &= \vec{E}_0 \cdot e^{i(\vec{k} \cdot \vec{r} - \omega t)} \\ \vec{B}(\vec{r}, t) &= \vec{B}_0 \cdot e^{i(\vec{k} \cdot \vec{r} - \omega t)}\end{aligned}}$$

Lösungen der Maxwellgleichungen

- $\vec{k} = (k_x, k_y, k_z)$ beliebig
- die Amplituden \vec{E}_0, \vec{B}_0 sind unabhängig von \vec{r} und t

Beweis \rightarrow Einsetzen in die Maxwellgleichungen

berechne zunächst $\vec{\nabla} \cdot \vec{E}$, $\vec{\nabla} \cdot \vec{B}$, $\vec{\nabla} \times \vec{E}$, $\vec{\nabla} \times \vec{B}$

$$\vec{E}(\vec{r}, t) = \begin{pmatrix} E_x(\vec{r}, t) \\ E_y(\vec{r}, t) \\ E_z(\vec{r}, t) \end{pmatrix}, \quad \vec{\nabla} \cdot \vec{E}(\vec{r}, t) = \frac{\partial}{\partial x} E_x(\vec{r}, t) + \frac{\partial}{\partial y} E_y(\vec{r}, t) + \frac{\partial}{\partial z} E_z(\vec{r}, t)$$

$$\frac{\partial}{\partial x} E_x(\vec{r}, t) = \frac{\partial}{\partial x} E_{0,x} e^{i\vec{k} \cdot \vec{r}} e^{-i\omega t} = E_{0,x} e^{-i\omega t} \frac{\partial}{\partial x} e^{i\vec{k} \cdot \vec{r}}$$

$$\frac{\partial}{\partial x} e^{i\vec{k} \cdot \vec{r}} = \frac{\partial}{\partial x} e^{i(k_x x + k_y y + k_z z)} = e^{ik_y y} e^{ik_z z} \underbrace{\frac{\partial}{\partial x} e^{ik_x x}}_{= ik_x e^{ik_x x}} = ik_x e^{ik_x x}$$

$$\Rightarrow \vec{\nabla} \cdot \vec{E}(\vec{r}, t) = \underbrace{(E_{0,x} i k_x + E_{0,y} i k_y + E_{0,z} i k_z)}_{= i \vec{E}_0 \cdot \vec{k}} e^{i(\vec{k} \cdot \vec{r} - \omega t)}$$

$$\text{analog: } \vec{\nabla} \cdot \vec{B}(\vec{r}, t) = i \vec{B}_0 \cdot \vec{k} e^{i(\vec{k} \cdot \vec{r} - \omega t)}$$

$$\vec{\nabla} \times \vec{E}(\vec{r}, t) = \begin{pmatrix} \frac{\partial}{\partial x} \\ \frac{\partial}{\partial y} \\ \frac{\partial}{\partial z} \end{pmatrix} \times \begin{pmatrix} E_{0,x} e^{i(\vec{k} \cdot \vec{r} - \omega t)} \\ E_{0,y} e^{i(\vec{k} \cdot \vec{r} - \omega t)} \\ E_{0,z} e^{i(\vec{k} \cdot \vec{r} - \omega t)} \end{pmatrix} = \dots$$

erste Komponente: $\underbrace{[E_{0,z} i k_x - E_{0,y} i k_x]}_{= \text{erste Komponente von } i \vec{k} \times \vec{E}_0} e^{i(\vec{k} \cdot \vec{r} - \omega t)}$

$$\dots = i \vec{k} \times \vec{E}_0 e^{i(\vec{k} \cdot \vec{r} - \omega t)}$$

$$\text{analog: } \vec{\nabla} \times \vec{B}(\vec{r}, t) = i \vec{k} \times \vec{B}_0 e^{i(\vec{k} \cdot \vec{r} - \omega t)}$$

Einsetzen in die Maxwellgleichungen

- $\vec{\nabla} \cdot \vec{E} = 0 \Rightarrow i \vec{E}_0 \cdot \vec{k} \underbrace{e^{i(\vec{k} \cdot \vec{r} - \omega t)}}_{\neq 0} = 0$

$$\Rightarrow \vec{E}_0 \cdot \vec{k} = 0 \quad \text{d.h. } \vec{E}_0 \perp \vec{k}$$

- $\vec{\nabla} \cdot \vec{B} = 0 \Rightarrow \vec{B}_0 \cdot \vec{k} = 0 \quad \text{d.h. } \vec{B}_0 \perp \vec{k}$

- $\vec{\nabla} \times \vec{E} + \frac{1}{c} \frac{\partial \vec{B}}{\partial t} = 0$

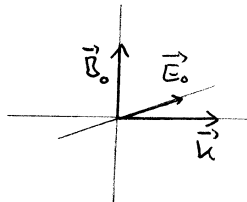
$$\Rightarrow \left[i \vec{k} \times \vec{E}_0 - \frac{i\omega}{c} \vec{B}_0 \right] \underbrace{e^{i(\vec{k} \cdot \vec{r} - \omega t)}}_{\neq 0} = 0$$

$$\Rightarrow \boxed{\vec{k} \times \vec{E}_0 = \frac{\omega}{c} \vec{B}_0} \quad (*) \quad \text{d.h. } \vec{B}_0 \perp \vec{k} \quad \text{und} \quad \vec{B}_0 \perp \vec{E}_0$$

$\rightarrow \vec{k}, \vec{E}_0, \vec{B}_0$ bilden ein orthogonales Dreibein

$$\text{z.B. } \vec{k} = \begin{pmatrix} k \\ 0 \\ 0 \end{pmatrix}, \quad \vec{E}_0 = \begin{pmatrix} 0 \\ E_0 \\ 0 \end{pmatrix} \Rightarrow \vec{k} \times \vec{E}_0 = \begin{pmatrix} 0 \\ 0 \\ kE_0 \end{pmatrix}$$

$$\vec{B}_0 = \frac{c}{\omega} \vec{k} \times \vec{E}_0 = \begin{pmatrix} 0 \\ 0 \\ \frac{kc}{\omega} E_0 \end{pmatrix}$$



$$\vec{\nabla} \times \vec{B} - \frac{1}{c} \frac{\partial \vec{E}}{\partial t} = 0$$

$$\Rightarrow \underbrace{[i \vec{k} \times \vec{B}_0 + \frac{i\omega}{c} \vec{E}_0]}_{=0} e^{i(\vec{k} \cdot \vec{r} - \omega t)} = 0$$

$$\Rightarrow \vec{E}_0 = -\frac{c}{\omega} \vec{k} \times \vec{B}_0 \quad \text{Einsetzen in (*)}$$

$$\begin{aligned} \rightarrow -\frac{c}{\omega} \underbrace{\vec{k} \times (\vec{k} \times \vec{B}_0)}_{=0} &= \frac{\omega}{c} \vec{B}_0 \\ &= \vec{k} \underbrace{(\vec{k} \cdot \vec{B}_0)}_{=0} - \vec{B}_0 \underbrace{(\vec{k} \cdot \vec{k})}_{=k^2} \end{aligned} \quad \left. \right\}$$

$$k^2 \vec{B}_0 = \frac{\omega^2}{c^2} \vec{B}_0$$

$$\boxed{k^2 = \frac{\omega^2}{c^2}}$$

$$k = \frac{|\omega|}{c}$$

$$\stackrel{\text{wg}}{\vec{a} \times (\vec{b} \times \vec{c})} = (\vec{a} \cdot \vec{c}) \vec{b} - (\vec{a} \cdot \vec{b}) \vec{c}$$

Was folgt daraus?

\rightarrow Der Ansatz mit ebenen Wellen für $\vec{E}(\vec{r}, t)$ und $\vec{B}(\vec{r}, t)$ ist eine Lösung der Maxwellgleichungen für $\rho = 0, \vec{j} = 0$ sofern

$$\cdot \vec{E}_0 \perp \vec{k}, \vec{B}_0 \perp \vec{k}$$

$$\cdot \vec{B}_0 = \frac{c}{\omega} \vec{k} \times \vec{E}_0$$

$$\cdot k^2 = \frac{\omega^2}{c^2}$$

$$\text{außerdem gilt: } |\vec{B}_0| = \underbrace{\frac{c}{\omega} |\vec{k} \times \vec{E}_0|}_{= |\vec{k}| \cdot |\vec{E}_0|, \text{ da } \vec{k} \perp \vec{E}_0}$$

$$= \frac{c}{|\omega|} k |\vec{E}_0| \Rightarrow |\vec{E}_0| = |\vec{B}_0|$$

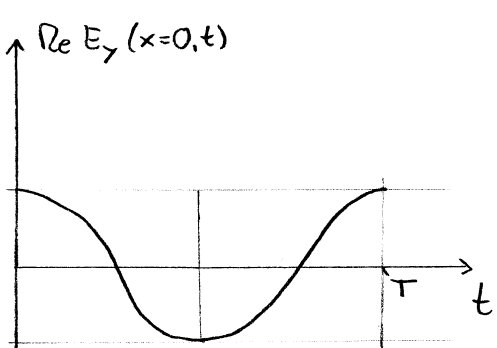
Frequenz und Wellenlänge

sei $\vec{k} = (k, 0, 0)$; $\vec{E}_0 = (0, E_0, 0)$

$$\Rightarrow \vec{E}(\vec{r}, t) = \begin{pmatrix} 0 \\ E_0 \\ 0 \end{pmatrix} e^{i(kx - \omega t)} = \begin{pmatrix} 0 \\ E_0 \\ 0 \end{pmatrix} [\cos(kx - \omega t) + i \sin(kx - \omega t)]$$

physikalisches Feld: $\operatorname{Re} \vec{E}(\vec{r}, t) = \begin{pmatrix} 0 \\ E_0 \\ 0 \end{pmatrix} \cos(kx - \omega t)$

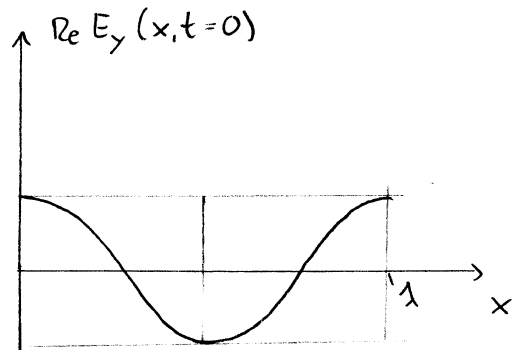
$$\rightarrow \operatorname{Re} E_y(x, t) = E_0 \cos(kx - \omega t)$$



$$\omega T = 2\pi$$

$$\text{Kreisfrequenz } \omega = \frac{2\pi}{T}$$

$$\text{Frequenz } v = \frac{1}{T} = \frac{\omega}{2\pi}$$



$$k\lambda = 2\pi$$

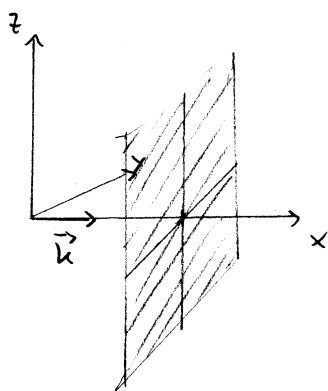
$$\text{Wellenlänge } \lambda = \frac{2\pi}{k} = \frac{2\pi c}{\omega} = \frac{c}{v} = T c$$

warum "ebene" Welle

Flächen konstante Phase Φ sind Ebenen

$$\text{für } \vec{k} = (k, 0, 0) \Rightarrow \Phi = kx - \omega t$$

$$\text{gesucht: alle Vektoren } \vec{r} \text{ mit } \Phi = kx - \omega t \rightarrow \left\{ \begin{array}{l} x = \frac{1}{k} (\Phi + \omega t) \\ y, z \text{ beliebig} \end{array} \right.$$



Ebenen mit konstanter Phase Φ bewegen sich mit Geschwindigkeit c in \vec{k} -Richtung

$$x = \frac{\Phi}{k} + \frac{\omega}{k} t = \frac{\Phi}{k} + ct$$

Kugelwelle

$$\text{Phase } \varphi = k\vec{r} - \omega t \quad r = |\vec{r}|$$

Flächen konstante Phase definiert durch $r = \frac{1}{k} (\varphi + \omega t)$

→ konzentrische Kugeloberflächen

Polarisation

eine monochromatische, ebene Welle mit $\vec{E}(\vec{r}, t) = \begin{pmatrix} 0 \\ E_0 \\ 0 \end{pmatrix} e^{i(kx - \omega t)}$ ist in y -Richtung linear polarisiert → Richtung von $\vec{E}(\vec{r}, t)$ für alle \vec{r}, t gleich betrachtet jetzt:

$$\vec{E}(\vec{r}, t) = (\vec{E}_{o,1} + \vec{E}_{o,2}) e^{i(\vec{k} \cdot \vec{r} - \omega t)}$$

$$\text{mit } \vec{E}_{o,1} = (0, E_{o,1}, 0), \vec{E}_{o,2} = (0, 0, E_{o,2})$$

$$\text{die } E_{oi} \text{ sind Komplexwertig, d.h. } E_{oi} = |E_{oi}| e^{i\varphi_i} \quad i=1,2$$

$$\Rightarrow E_{oi} e^{i(\vec{k} \cdot \vec{r} - \omega t)} = |E_{oi}| e^{i(\vec{k} \cdot \vec{r} - \omega t + \varphi_i)}$$

physikalische Feld: $\operatorname{Re} \vec{E}(\vec{r}, t) = \begin{pmatrix} 0 \\ |E_{o,1}| \cos(\vec{k} \cdot \vec{r} - \omega t + \varphi_1) \\ |E_{o,2}| \cos(\vec{k} \cdot \vec{r} - \omega t + \varphi_2) \end{pmatrix}$

$$\text{sei } \varphi_1 = \varphi_2 = \varphi$$

$$\Rightarrow \operatorname{Re} \vec{E}(\vec{r}, t) = \begin{pmatrix} 0 \\ |E_{o,1}| \\ |E_{o,2}| \end{pmatrix} \cos(\vec{k} \cdot \vec{r} - \omega t + \varphi)$$

d.h. das elektrische Feld ist in Richtung $(0, |E_{o,1}|, |E_{o,2}|)$ linear polarisiert

$$\text{sei } \varphi_2 = \varphi_1 + \frac{\pi}{2}$$

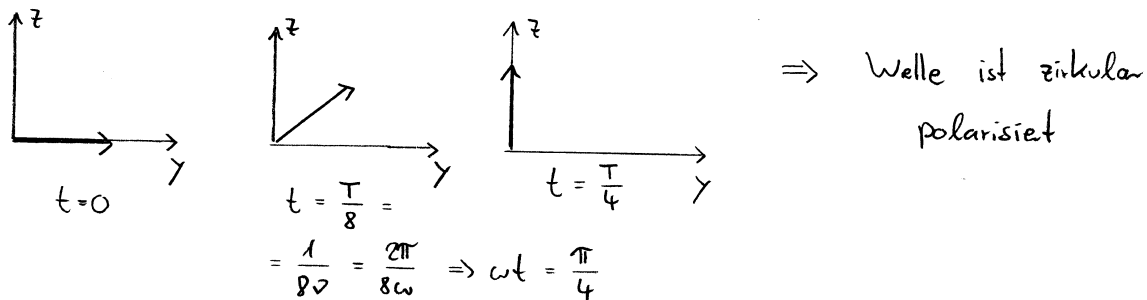
$$\text{außerdem: } |E_{o,1}| = |E_{o,2}| = a$$

$$\Rightarrow \operatorname{Re} \vec{E}(\vec{r}, t) = a \begin{pmatrix} 0 \\ \cos(\vec{k} \cdot \vec{r} - \omega t + \varphi_1) \\ \cos(\vec{k} \cdot \vec{r} - \omega t + \varphi_1 + \frac{\pi}{2}) \end{pmatrix} =$$

$$= a \begin{pmatrix} 0 \\ \cos(\vec{k} \cdot \vec{r} - \omega t + \varphi_1) \\ -\sin(\vec{k} \cdot \vec{r} - \omega t + \varphi_1) \end{pmatrix} \Rightarrow \begin{aligned} |\operatorname{Re} \vec{E}(\vec{r}, t)|^2 &= a^2 \\ \text{unabhängig von } \vec{r}, t & \\ \text{Richtung hängt aber von } \vec{r}, t \text{ ab} & \end{aligned}$$

setze z.B. $\vec{r} = 0, \varphi_1 = 0$

$$\Rightarrow \operatorname{Re} \vec{E}(\vec{r}=0, t) = a \begin{pmatrix} 0 \\ \cos(-\omega t) \\ -\sin(-\omega t) \end{pmatrix} = a \begin{pmatrix} 0 \\ \cos(\omega t) \\ \sin(\omega t) \end{pmatrix}$$



Überlagerung elektromagnetischer Wellen

Behauptung: eine Überlagerung elektromagnetischer Wellen mit verschiedenen \vec{k} -Vektoren der Form

$$\boxed{\vec{E}(\vec{r}, t) = \sum_{i=1}^N \vec{E}_o(\vec{k}_i) e^{i(\vec{k}_i \cdot \vec{r} - \omega(\vec{k}_i)t)}}$$

oder

$$\boxed{\vec{E}(\vec{r}, t) = \int d^3k \vec{E}_o(\vec{k}) e^{i(\vec{k} \cdot \vec{r} - \omega(\vec{k})t)} \quad \vec{B}(\vec{r}, t) \text{ jeweils analog}}$$

ist ebenfalls eine Lösung der Maxwellgleichungen für $\rho=0$ und $\vec{j}=0$

Beweis: Maxwellgleichungen sind linear!

$$\text{z.B. } \vec{\nabla} \cdot (\vec{E}_1(\vec{r}, t) + \vec{E}_2(\vec{r}, t)) = \vec{\nabla} \cdot \vec{E}_1(\vec{r}, t) + \vec{\nabla} \cdot \vec{E}_2(\vec{r}, t)$$

$$\Rightarrow \vec{\nabla} \cdot \left[\int d^3k \vec{E}_o(\vec{k}) e^{i(\vec{k} \cdot \vec{r} - \omega(\vec{k})t)} \right] = \underbrace{\int d^3k \vec{\nabla} \cdot [\vec{E}_o(\vec{k}) e^{i(\vec{k} \cdot \vec{r} - \omega(\vec{k})t)}]}_{= \dots}$$

$$\dots = i \vec{E}_o(\vec{k}) \cdot \vec{k} e^{i(\vec{k} \cdot \vec{n} - \omega(\vec{k})t)}$$

es soll gelten: $\vec{\nabla} \cdot \vec{E}(\vec{n}, t) = 0$ für alle \vec{n}, t

$$\Rightarrow \vec{E}_o(\vec{k}) \perp \vec{k} \text{ für jedes } \vec{k}$$

$$\text{außerdem: } \vec{B}_o(\vec{k}) = \frac{c}{\omega(\vec{k})} \vec{k}$$

$$k^2 = \frac{1}{c} \omega(\vec{k})^2 \rightarrow \omega(\vec{k}) = kc$$

endliche Wellenpaket

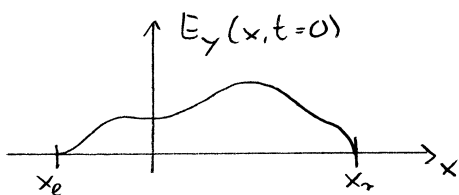
zur Vereinfachung: i, setze $\vec{k} = (k, 0, 0)$ $\Rightarrow \int dk^3 \sim \int_{-\infty}^{\infty} dk$

ii, alle $\vec{E}_o(\vec{k})$ in y -Richtung, d.h.

$$\vec{E}_o(\vec{k}) = (0, E_o(k), 0)$$

$$\Rightarrow \vec{E}(\vec{x}, t) = \begin{pmatrix} 0 \\ E_y(x, t) \\ 0 \end{pmatrix} \quad \text{mit } E_y(x, t) = \int_{-\infty}^{\infty} dk E_o(k) e^{i(kx - \omega(k)t)}$$

zur Zeit $t=0$ sei $E_y(x, t=0)$ vorgegeben



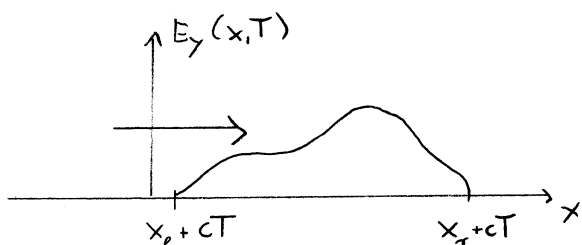
$$\Rightarrow E_y(x, t=0) = \int_{-\infty}^{\infty} dk E_o(k) e^{ikx}$$

$E_o(k)$ ist die Fourier-Transformierte von $E_y(x, t=0)$:

$$E_o(k) = \frac{1}{2\pi} \int_{-\infty}^{\infty} E_y(x, t=0) e^{-ikx} dx$$

das Wellenpaket bewegt sich mit Geschwindigkeit c in \vec{k} -Richtung!

$$\rightarrow \text{betrachte } E_y(x, T) = \int_{-\infty}^{\infty} dk E_o(k) e^{i(kx - kcT)} \stackrel{!}{=} E_y(x - cT, 0) \\ = e^{i k (x - cT)}$$



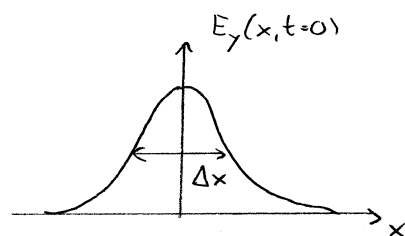
die Form des Wellenpakets ändert sich nicht!

warum?

Frequenz-Spektrum eines Wellenpakets

Beispiel: Gaußsches Wellenpaket

$$E_y(x, t=0) = a e^{-\frac{1}{2} \left(\frac{x}{\Delta x}\right)^2}$$



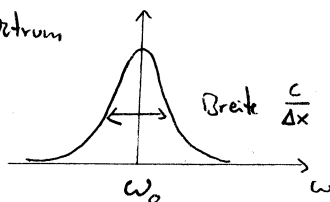
$$\begin{aligned} \Rightarrow E_o(k) &= \frac{1}{2\pi} \int_{-\infty}^{\infty} a e^{-\frac{1}{2} \left(\frac{x}{\Delta x}\right)^2} e^{-ikx} dx \\ &= a \sqrt{\frac{1}{2\pi}} \Delta x e^{-\frac{1}{2} (k \Delta x)^2} \rightarrow \text{ebenfalls eine Gaußverteilung, Breite } \frac{1}{\Delta x} \end{aligned}$$

Zeitentwicklung des Wellenpakets

$$E_y(x, t) = \int_{-\infty}^{\infty} dk E_o(k) e^{i(kx - \omega(k)t)}$$

↑
jede Beitrag zum Integral mit Wellenzahl k
→ Frequenz $\omega(k) = kc$

⇒ Frequenz-Spektrum



für $\Delta x \rightarrow \infty$:

$\frac{c}{\Delta x} \rightarrow 0$: monochromatische Welle

Unschärfe-Relation

$$\underbrace{\text{Breite des Wellenpakets im Orts-Raum}}_{\Delta x} \cdot \dots \text{im } k\text{-Raum} \geq \text{const} \quad \frac{1}{\Delta x}$$

warum zerfließt das Wellenpaket nicht?

→ lineare Dispersion

$$\boxed{\omega(k) = kc}$$

$$\text{betrachte } (k_x - \omega(k)t) = k(x - \frac{\omega(k)}{c} t)$$

↓
jede Anteil zum Integral bewegt sich mit der Geschwindigkeit $\frac{\omega(k)}{c}$

im folgenden → Zeitentwicklung, d.h. die Bewegung mit Geschwindigkeit c , lässt sich direkt aus den Strukturen der Maxwell-Gleichungen ablesen

nochmals:

die Maxwellgleichungen für $\mathcal{J} = 0$, $\vec{J} = 0$

$$(1) \quad \vec{\nabla} \cdot \vec{B} = 0$$

$$(3) \quad \vec{\nabla} \cdot \vec{E} = 0$$

$$(2) \quad \vec{\nabla} \times \vec{E} + \frac{1}{c} \frac{\partial \vec{B}}{\partial t} = 0$$

$$(4) \quad \vec{\nabla} \times \vec{B} - \frac{1}{c} \frac{\partial \vec{E}}{\partial t} = 0$$

bilde: $- \vec{\nabla} \times [Gl. (2)] :$

$$- \underbrace{\vec{\nabla} \times (\vec{\nabla} \times \vec{E})}_{= 0} - \underbrace{\vec{\nabla} \times \left[\frac{1}{c} \frac{\partial \vec{B}}{\partial t} \right]}_{= 0} = 0$$

$$= \frac{1}{c} \frac{\partial}{\partial t} \underbrace{\vec{\nabla} \times \vec{B}}_{= 0} \\ (4)$$

$$\rightarrow = \underbrace{\vec{\nabla} (\vec{\nabla} \cdot \vec{E})}_{= 0} - \Delta \vec{E} \quad \text{also: } \Delta \vec{E} - \frac{1}{c^2} \frac{\partial^2}{\partial t^2} \vec{E} = 0$$

$$\Rightarrow \boxed{\square \vec{E} = 0}$$

$$\text{mit dem d'Alembert - Operator } \square = \Delta - \frac{1}{c^2} \frac{\partial^2}{\partial t^2}$$

$$= \frac{\partial^2}{\partial x^2} + \frac{\partial^2}{\partial y^2} + \frac{\partial^2}{\partial z^2} - \frac{1}{c^2} \frac{\partial^2}{\partial t^2}$$

analog für das Magnetfeld:

$$\boxed{\square \vec{B} = 0}$$

setze im folgenden $\vec{k} = (k, 0, 0)$

→ wie in den Beispielen zuvor soll \vec{E} nur von (x, t) abhängen: $\vec{E}(\vec{r}, t) \rightarrow \vec{E}(x, t)$

d.h. $\frac{\partial^2}{\partial y^2}, \frac{\partial^2}{\partial z^2}$ ergeben 0

und es folgt:

$$\left(\frac{\partial^2}{\partial x^2} - \frac{1}{c^2} \frac{\partial^2}{\partial t^2} \right) \vec{E}(x, t) = 0 \quad (*)$$

Behauptung: für eine beliebige Funktion f gilt $\left(\frac{\partial^2}{\partial x^2} - \frac{1}{c^2} \frac{\partial^2}{\partial t^2} \right) f(x \pm ct) = 0$

d.h. eine explizite Lösung der Dgl. (*) ist nicht notwendig

→ beliebige Wellenpakete $f(x)$ (zur Zeit $t=0$) bewegen sich mit Geschwindigkeit c in $\pm x$ -Richtung

Beweis: sei $a(x,t) = x + ct$

$$\frac{\partial}{\partial x} f(a(x,t)) = \frac{df}{da} \frac{\partial a}{\partial x} ; \quad \frac{\partial^2}{\partial x^2} f(a(x,t)) = \underbrace{\frac{d^2f}{da^2} \left(\frac{\partial a}{\partial x} \right)^2}_{=1} + \frac{df}{da} \underbrace{\frac{\partial^2 a}{\partial x^2}}_{=0} = 0$$

$$\frac{\partial}{\partial t} f(a(x,t)) = \frac{df}{da} \frac{\partial a}{\partial t} ; \quad \frac{\partial^2}{\partial t^2} f(a(x,t)) = \underbrace{\frac{d^2f}{da^2} \left(\frac{\partial a}{\partial t} \right)^2}_{=c^2} + \frac{df}{da} \underbrace{\frac{\partial^2 a}{\partial t^2}}_{=0} = 0$$

$$\Rightarrow \left(\frac{\partial^2}{\partial x^2} - \frac{1}{c^2} \frac{\partial^2}{\partial t^2} \right) f(a(x,t)) = \frac{d^2f}{da^2} - \frac{c^2}{c^2} \frac{d^2f}{da^2} = 0 \quad \text{für jede Funktion } f(a)$$

Hinweis: Maxwellgleichungen für die Potentiale

$\square \vec{A} = -\frac{4\pi}{c} \vec{j}, \quad \square \phi = -4\pi \rho$

d.h. die Lösungen für die Potentiale haben ebenfalls die Form

$$\vec{A}(x,t) = \vec{a}^{(r)}(x-ct) + \vec{a}^{(l)}(x+ct)$$

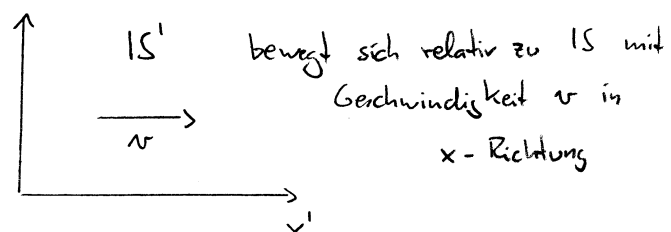
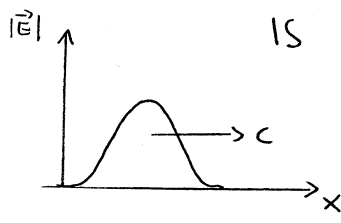
$$\phi(x,t) = \phi^{(r)}(x-ct) + \phi^{(l)}(x+ct)$$

elektrische und magnetische Felder ergeben sich daraus über:

$$\vec{E} = -\vec{\nabla}\phi - \frac{1}{c} \frac{\partial \vec{A}}{\partial t} ; \quad \vec{B} = \vec{\nabla} \times \vec{A}$$

Fazit von Kap. A.1

Es existieren Lösungen der Maxwellgleichungen für den feldfreien Fall, die sich in dem Inertialsystem, in dem die Maxwellgleichungen definiert sind, mit Geschwindigkeit c ausbreiten.



\Rightarrow Mit welcher Geschwindigkeit bewegt sich das Wellenpaket in IS' ?

Galilei-Transformation: $c' = c - v$

aber: Licht breitet sich in jedem IS mit der gleichen Geschwindigkeit c aus \rightarrow Maxwellgleichungen gelten in jedem IS

beim Übergang von IS \rightarrow IS'

Maxwellgleichungen sind forminvariant unter Lorentz-Transformationen

A.2 Spezielle Relativitätstheorie

A.2.1 Einführung

Relativitätsprinzip (Galilei): 1. Alle Inertialsysteme sind gleichwertig
2. Die Newtonschen Axiome gelten in allen Inertialsystemen

gleichwertig heißt: alle grundlegenden physikalischen Gesetze haben in allen IS die gleiche Form

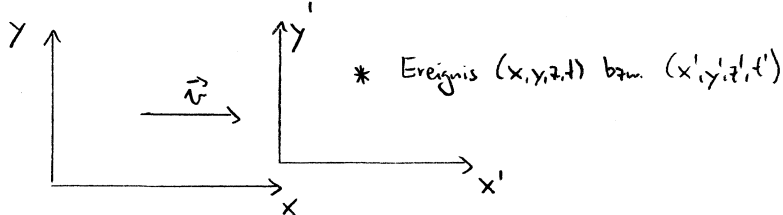
im folgenden: Punkt 1 ok

Punkt 2 wird modifiziert

\Rightarrow (u.a.) die Begriffe Raum und Zeit verlieren teilweise ihre absolute Bedeutung

Ereignis: definiert durch die Angabe der Koordinaten (x, y, z, t) in einem bestimmten Inertialsystem IS

\rightarrow Wie lauten die Koordinaten dieses Ereignisses in einem relativ zu IS mit Geschwindigkeit \vec{v} bewegten Inertialsystem IS' ? $\rightarrow (x', y', z', t')$



Galileitransformation für $\vec{v} = (v, 0, 0)$

$$x' = x - vt, \quad y' = y, \quad z' = z, \quad t' = t$$

Bewegung eines Photons in IS und IS':

zur Zeit $t = t' = 0$ wird ein Photon vom Ursprung von IS (= Ursprung von IS') ausgesandt.

→ Position des Photons in IS : (x, t)
 in IS' : (x', t')

Annahme: das Photon bewege sich in IS' mit der Geschwindigkeit c

$$\text{d.h. } \frac{dx'}{dt'} = c, \quad x' = ct'$$

$$\Rightarrow (\text{Galilei-Transformation}) \quad x = x' + vt = ct' + vt = ct + vt = (c+v)t$$

$$\frac{dx}{dt} = c + v$$

d.h. in IS hat das Licht die Geschwindigkeit $c+v$

dies steht aber im Widerspruch zur experimentellen Tatsache (\rightarrow Michelson-Versuch)

Konstanz der Lichtgeschwindigkeit $c = 2.998 \cdot 10^8 \frac{\text{m}}{\text{s}}$

\Rightarrow Relativitätsprinzip (Einstein):
 1. Alle IS sind gleichwertig
 2. Licht pflanzt sich in jedem IS mit Geschwindigkeit c fort

aus 2 folgt: die Maxwell-Gleichungen gelten in allen Inertialsystemen

Abstand von Ereignissen

betrachte zwei Ereignisse: (t_1, x_1, y_1, z_1) und (t_2, x_2, y_2, z_2)

Def.: Quadrat des Abstands zwischen den Ereignissen:

$$S_{12}^2 = c^2(t_2 - t_1)^2 - (x_2 - x_1)^2 - (y_2 - y_1)^2 - (z_2 - z_1)^2$$

Beispiele:

- $t_2 = t_1, \quad x_1 \neq x_2, \quad y_1 \neq y_2, \quad \text{oder} \quad z_1 \neq z_2 \quad \Rightarrow \quad S_{12}^2 < 0$

- Ereignis 1: $(0, 0, 0, 0)$
- Ereignis 2: $(\pm \frac{x}{c}, x, 0, 0)$

$$\left. \right\} \quad S_{12}^2 = c^2 \frac{x^2}{c^2} - x^2 = 0$$

Koordinaten der beiden Ereignisse in IS': (t'_1, x'_1, y'_1, z'_1) und (t'_2, x'_2, y'_2, z'_2)

$$\text{Abstand in IS':} \quad S'_{12}^2 = c^2(t'_2 - t'_1)^2 - (x'_2 - x'_1)^2 - (y'_2 - y'_1)^2 - (z'_2 - z'_1)^2$$

- speziell: Ereignis 1 : Emission eines Photons $\rightarrow (0,0,0,0)$ in IS und IS'
 Ereignis 2 : Absorption dieses Photons $\rightarrow (t,x,y,z)$ in IS
 (t',x',y',z') in IS'

Photon bewegt sich mit Geschwindigkeit $v = \frac{1}{c} \sqrt{x^2 + y^2 + z^2} = c$
 $\Rightarrow c^2 t^2 = x^2 + y^2 + z^2$ d.h. $s_{12}^2 = 0$

dies gilt ebenso in IS' !

$$\Rightarrow c^2 t'^2 = x'^2 + y'^2 + z'^2 \quad \text{d.h.} \quad s'_{12}^2 = 0$$

allgemein (nicht nur für Photonen) gilt:

$$s'_{12}^2 = s_{12}^2$$

betrachte jetzt ein gleichförmig bewegtes Teilchen

Ereignis 1 : $(0,0,0,0)$ in IS und IS'

Ereignis 2 : $(t,x,0,0)$ in IS $\rightarrow x = vt \quad : \quad (t,vt,0,0)$
 $(t',x',0,0)$ in IS'

Abstand dieser beiden Ereignisse in IS : $s_{12}^2 = (c^2 - v^2)t^2$

Frage: wie lauten die Koordinaten von Ereignis 2 in IS' , damit gilt:

$$s'_{12}^2 = c^2 t'^2 - x'^2 \stackrel{!}{=} s_{12}^2 = (c^2 - v^2)t^2 \quad ?$$

d.h. welche Transformation (Koordinaten in IS) \rightarrow (Koordinaten in IS')

ändert das Abstandsquadrat nicht?

A.2.2

Lorentztransformationen

Schreibweise : $(x^\alpha) = (x^0, x^1, x^2, x^3) = (ct, x, y, z)$

Achtung: Indizes oben

Definition: $\gamma = (\gamma_{\alpha\beta}) = \begin{pmatrix} 1 & 0 & 0 & 0 \\ 0 & -1 & 0 & 0 \\ 0 & 0 & -1 & 0 \\ 0 & 0 & 0 & -1 \end{pmatrix}$

Abstand zwischen zwei infinitesimal benachbarten Ereignissen

$$ds^2 = c^2 dt^2 - dx^2 - dy^2 - dz^2 = \sum_{\alpha=0}^3 \sum_{\beta=0}^3 \gamma_{\alpha\beta} dx^\alpha dx^\beta \equiv \gamma_{\alpha\beta} dx^\alpha dx^\beta$$

Achtung: Summenkonvention \rightarrow über zwei gleiche Indizes (eine unten, eine oben)
wird summiert

es soll gelten:

$$\boxed{ds'^2 = ds^2} \quad (*)$$

im folgenden: Aufstellen der Transformation, die die Gl. (*) erfüllt

Ansatz:

$$\boxed{x'^\alpha = \Lambda_\beta^\alpha x^\beta + b^\alpha}$$

Lorentztransformation

$\Lambda_\beta^\alpha, b^\alpha$ hängen von der Relation zwischen IS und IS' ab
nicht von den Koordinaten

Matrixschreibweise:

$$\begin{pmatrix} x'^0 \\ x'^1 \\ x'^2 \\ x'^3 \end{pmatrix} = \begin{pmatrix} \Lambda_0^0 & \Lambda_1^0 & \Lambda_2^0 & \Lambda_3^0 \\ \Lambda_0^1 & \Lambda_1^1 & \Lambda_2^1 & \Lambda_3^1 \\ \Lambda_0^2 & \Lambda_1^2 & \Lambda_2^2 & \Lambda_3^2 \\ \Lambda_0^3 & \Lambda_1^3 & \Lambda_2^3 & \Lambda_3^3 \end{pmatrix} \begin{pmatrix} x^0 \\ x^1 \\ x^2 \\ x^3 \end{pmatrix} + \begin{pmatrix} b^0 \\ b^1 \\ b^2 \\ b^3 \end{pmatrix}$$

$$\text{bzw. } x' = \Lambda x + b \quad \text{mit } x' = (x'^\alpha), \quad \Lambda = (\Lambda_\beta^\alpha), \dots$$

es gilt:

$$\boxed{dx'^\alpha = \Lambda_\beta^\alpha dx^\beta}$$

Beweis: betrachte $\Delta x'^\alpha = x'_1 - x'_2 = \Lambda_\beta^\alpha x_1^\beta + b^\alpha - \Lambda_\beta^\alpha x_2^\beta - b^\alpha$
 $= \Lambda_\beta^\alpha (x_1^\beta - x_2^\beta) = \Lambda_\beta^\alpha \Delta x^\beta$

aus der Invarianz $ds'^2 = ds^2$ folgt damit:

$$ds'^2 = \gamma_{\alpha\beta} dx'^\alpha dx'^\beta = \underbrace{\gamma_{\alpha\beta} \Lambda_\gamma^\alpha dx^\gamma \Lambda_\delta^\beta dx^\delta}_! = ds^2 = \underbrace{\gamma_{\gamma\delta} dx^\gamma dx^\delta}_!$$

diese Gleichung soll für beliebige dx gelten
 $\Rightarrow \dots$

$$\Rightarrow \boxed{\Lambda_{\gamma}^{\alpha} \Lambda_{\delta}^{\beta} \eta_{\alpha\beta} = \eta_{\gamma\delta}}$$

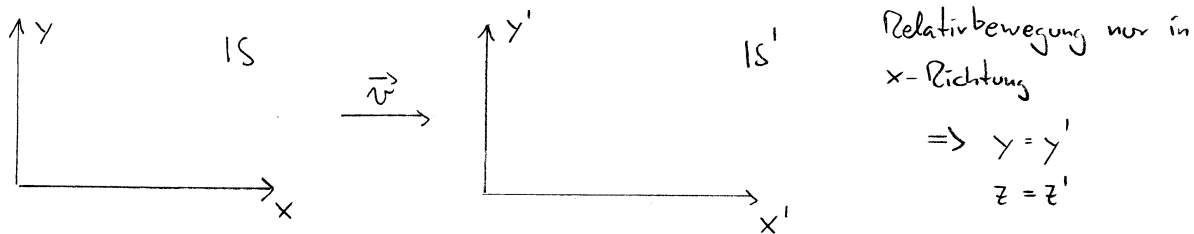
ausgeschrieben $\eta_{\gamma\delta} = \sum_{\alpha=0}^3 \sum_{\beta=0}^3 \underbrace{\Lambda_{\gamma}^{\alpha} \eta_{\alpha\beta} \Lambda_{\delta}^{\beta}}_{=(\Lambda^T \eta \Lambda)_{\gamma\delta}} = (\Lambda^T \eta \Lambda)_{\gamma\delta}$

$\overset{\wedge}{\quad}$ die transponierte Matrix

$$\rightarrow \Lambda^T \eta \Lambda = \eta$$

das entspricht der Bedingung $\alpha^T \alpha = 1$ bei orthogonalen Transformationen

spezielle Lorentztransformation



das Ereignis „der Ursprung von IS' befindet sich am Ursprung von IS “ habe die Koordinaten $(ct, x, y, z) = (0, 0, 0, 0)$ in IS und

$$(ct', x', y', z') = (0, 0, 0, 0) \text{ in } IS'$$

$$\rightarrow \text{Einsetzen in } x'^{\alpha} = \Lambda_{\beta}^{\alpha} x^{\beta} + b^{\alpha}$$

$$0 = 0 + b^{\alpha} \Rightarrow b^{\alpha} = 0$$

aus $x'^0 = x^0$ und $x'^3 = x^3$ folgt

$$\begin{pmatrix} x'^0 \\ x'^1 \\ x'^2 \\ x'^3 \end{pmatrix} = \begin{pmatrix} \Lambda_0^0 & \Lambda_0^1 & 0 & 0 \\ \Lambda_1^0 & \Lambda_1^1 & 0 & 0 \\ 0 & 0 & 1 & 0 \\ 0 & 0 & 0 & 1 \end{pmatrix} \begin{pmatrix} x^0 \\ x^1 \\ x^2 \\ x^3 \end{pmatrix}$$

betrachte die Folge von Ereignissen: „Position des Ursprungs von IS' “

Koordinaten in IS : $(ct, x, 0, 0) \stackrel{!}{=} (ct, vt, 0, 0)$

in IS' : $(ct', 0, 0, 0)$

für diese Folge von Ereignissen gilt also:

$$\begin{pmatrix} ct' \\ 0 \end{pmatrix} = \begin{pmatrix} \lambda_0^0 & \lambda_1^0 \\ \lambda_0^1 & \lambda_1^1 \end{pmatrix} \begin{pmatrix} ct \\ vt \end{pmatrix} \quad (*)$$

zunächst: die Matrixelemente von Λ sind nicht unabhängig

$$\rightarrow \text{verknüpft durch } \lambda_y^\alpha \lambda_z^\beta \eta_{\alpha\beta} = \gamma_{yz}$$

im relevanten Unterraum lässt sich diese Bedingung schreiben als:

$$\begin{pmatrix} \lambda_0^0 & \lambda_1^0 \\ \lambda_0^1 & \lambda_1^1 \end{pmatrix} \begin{pmatrix} 1 & 0 \\ 0 & -1 \end{pmatrix} \begin{pmatrix} \lambda_0^0 & \lambda_1^0 \\ \lambda_0^1 & \lambda_1^1 \end{pmatrix} = \begin{pmatrix} 1 & 0 \\ 0 & -1 \end{pmatrix}$$

ausmultiplizieren ergibt:

$$\begin{pmatrix} (\lambda_0^0)^2 - (\lambda_0^1)^2 & \lambda_0^0 \lambda_1^0 - \lambda_0^1 \lambda_1^1 \\ \lambda_1^0 \lambda_0^0 - \lambda_1^1 \lambda_0^1 & (\lambda_1^0)^2 - (\lambda_1^1)^2 \end{pmatrix} = \begin{pmatrix} 1 & 0 \\ 0 & -1 \end{pmatrix}$$

das ergibt drei Bedingungen

Behauptung: diese Bedingungen lassen sich erfüllen durch:

$$\begin{pmatrix} \lambda_0^0 & \lambda_1^0 \\ \lambda_0^1 & \lambda_1^1 \end{pmatrix} = \begin{pmatrix} \cosh 4 & -\sinh 4 \\ -\sinh 4 & \cosh 4 \end{pmatrix}$$

Beweis: $\cosh 4 = \frac{1}{2} (e^4 + e^{-4})$ es gilt: $\cosh^2 4 - \sinh^2 4 = 1$
 $\sinh 4 = \frac{1}{2} (e^4 - e^{-4})$

a) $(\lambda_0^0)^2 - (\lambda_0^1)^2 = \cosh^2 4 - \sinh^2 4 = 1 \quad \checkmark$

b) $(\lambda_1^0)^2 - (\lambda_1^1)^2 = \sinh^2 4 - \cosh^2 4 = -1 \quad \checkmark$

c) $\lambda_0^0 \lambda_1^0 - \lambda_0^1 \lambda_1^1 = \cosh 4 (-\sinh 4) - (-\sinh 4) \cosh 4 = 0 \quad \checkmark$

Einsetzen in (*)

$$\begin{pmatrix} ct' \\ 0 \end{pmatrix} = \begin{pmatrix} \cosh 4 & -\sinh 4 \\ -\sinh 4 & \cosh 4 \end{pmatrix} \begin{pmatrix} ct \\ vt \end{pmatrix}$$

\Rightarrow 2 Gleichungen: I $ct' = ct \cosh 4 - vt \sinh 4$

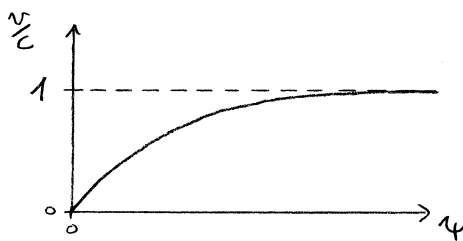
II $0 = -ct \sinh 4 + vt \cosh 4$

aus II folgt: $ct \sinh \gamma = vt \cosh \gamma$

$$\frac{\sinh \gamma}{\cosh \gamma} = \tanh \gamma = \frac{v}{c}$$

$$\gamma = \operatorname{artanh} \frac{v}{c}$$

↓ Rapidity



$$\frac{v}{c} = \frac{e^x - e^{-x}}{e^x + e^{-x}}$$

$$\Rightarrow \text{Einschränkung } \frac{v}{c} < 1$$

spezielle LT für beliebige Ereignisse (ct, x, y, z)

$$\begin{pmatrix} ct' \\ x' \end{pmatrix} = \begin{pmatrix} \cosh \gamma & -\sinh \gamma \\ -\sinh \gamma & \cosh \gamma \end{pmatrix} \begin{pmatrix} ct \\ x \end{pmatrix}, \quad y' = y, \quad z' = z$$

mit $\gamma = \operatorname{artanh} \frac{v}{c}$

Def.: $\gamma = \cosh \gamma = \frac{1}{\sqrt{1 - v^2/c^2}}$

Beweis: $\frac{v}{c} = \frac{\sinh \gamma}{\cosh \gamma} \Rightarrow 1 - \frac{v^2}{c^2} = 1 - \frac{\sinh^2 \gamma}{\cosh^2 \gamma} =$

$$= \frac{1}{\cosh^2 \gamma} \underbrace{(\cosh^2 \gamma - \sinh^2 \gamma)}_{= 1} = \frac{1}{\gamma^2} \quad \text{ok}$$

außerdem: $\frac{v}{c} = \frac{\sinh \gamma}{\gamma} \Rightarrow \sinh \gamma = \gamma \frac{v}{c}$

die spezielle LT hat damit die Form:

$$\begin{pmatrix} ct' \\ x' \end{pmatrix} = \begin{pmatrix} \gamma & -\gamma \frac{v}{c} \\ -\gamma \frac{v}{c} & \gamma \end{pmatrix} \begin{pmatrix} ct \\ x \end{pmatrix}, \quad y' = y, \quad z' = z$$

ausgeschrieben:

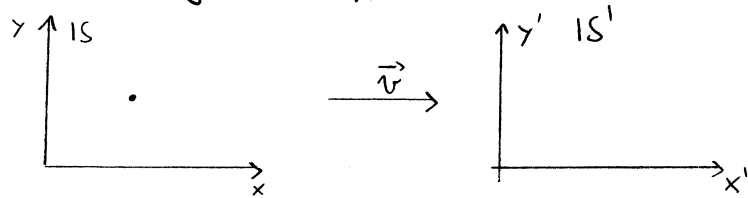
$$ct' = \frac{1}{\sqrt{1 - v^2/c^2}} (ct - x \frac{v}{c})$$

$$x' = \frac{1}{\sqrt{1 - v^2/c^2}} (x - vt)$$

$$y' = y, \quad z' = z$$

Was haben wir bis jetzt erreicht?

→ betrachte ein Ereignis (ct, x, y, z) in IS



die (spezielle) Lorentztransformation $x'^\alpha = \Lambda^\alpha_\beta x^\beta$ ergibt die Koordinaten dieses Ereignisses in IS' : (ct', x', y', z')

im folgenden: Verknüpfung verschiedener Ereignisse in IS und IS'

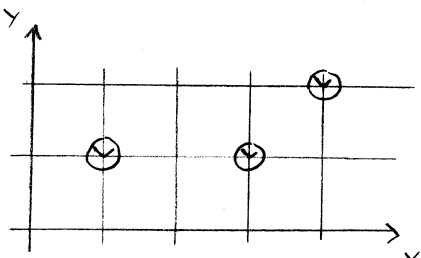
- z.B.:
 - Bahnkurve → Folge von Ereignissen
 - Form von Objekten, z.B. — → Längenkontraktion
 - bewegte Uhren → Zeitdilatation

der Limes $\gamma \approx \infty$

$$\gamma \rightarrow 1 \Rightarrow ct' = ct \quad \left. \begin{array}{l} \\ x' = x - vt \end{array} \right\} \text{Galileo-Transformation}$$

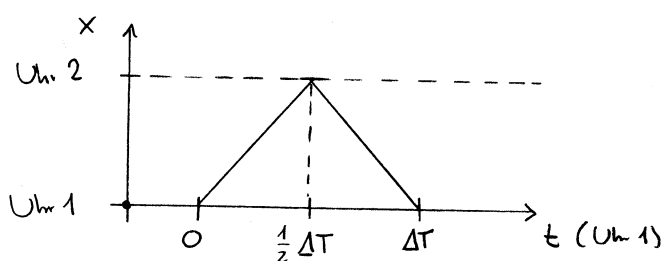
A.2.3 Längen- und Zeitmessung

Koordinatennetz eines Inertialsystems IS

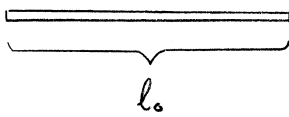


- realisiert durch ruhende, geeichte Längenmaßstäbe
- außerdem: ruhende, gleichartige Uhren, die alle dieselbe IS-Zeit anzeigen

⇒ Synchronisation ∼ durch den Austausch von Signalen



bewegter Maßstab

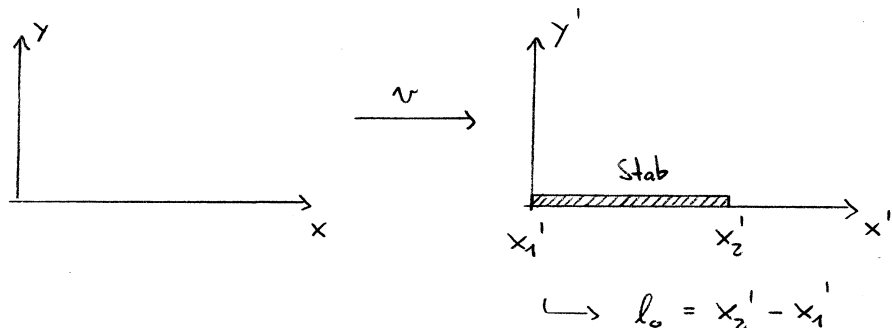


Stab ruht in einem Inertialsystem IS'

Messung der Länge in IS' ergibt die Eigenlänge l_0

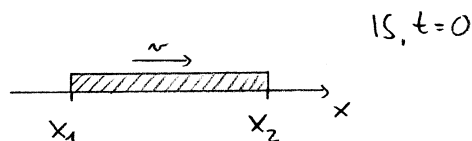
die Eigenlänge ist unabhängig vom IS \rightarrow Lorentzskalar

jetzt: IS' bewegt sich relativ zu IS mit Geschwindigkeit v



Messung der Länge des Stabs in IS \rightarrow verlangt eine genaue Meßvorschrift!

\rightarrow markiere zur IS-Zeit $t=0$ die Position von Stabanfang und -ende auf der x-Achse \rightarrow 2 Ereignisse!



$$\text{Ereignis 1 : } \begin{cases} x_1 = 0, t_1 = 0 \\ x'_1 = 0, t'_1 = 0 \end{cases} \quad \leftarrow \text{IS und IS' zur Zeit } t_1 = t'_1 = 0 \text{ fallen zusammen}$$

$$\text{Ereignis 2 : } \begin{cases} x_2, t_2 = 0 \\ x'_2 = l_0, t'_2 \end{cases}$$

für diese spezielle Lorentztransformation gilt für beide Ereignisse

| |
|------------------------------------|
| $ct' = \gamma(ct - x \frac{v}{c})$ |
| $x' = \gamma(x - vt)$ |

\rightarrow erfüllt für Ereignis 1

für Ereignis 2 gilt:

$$ct_2' = \gamma (ct_2 - x_2 \frac{v}{c}) = -\gamma \frac{v}{c} x_2$$

$$x_2' = \gamma (x_2 - vt_2) = \gamma x_2 \stackrel{!}{=} l_0$$

$$\Rightarrow \text{Länge des Stabs in IS} \rightarrow l = x_2 - x_1 = x_2 = \frac{1}{\gamma} l_0$$

Längenkontraktion

$$l = l_0 \sqrt{1 - \frac{v^2}{c^2}}$$

$$0 < \sqrt{1 - \frac{v^2}{c^2}} \leq 1$$

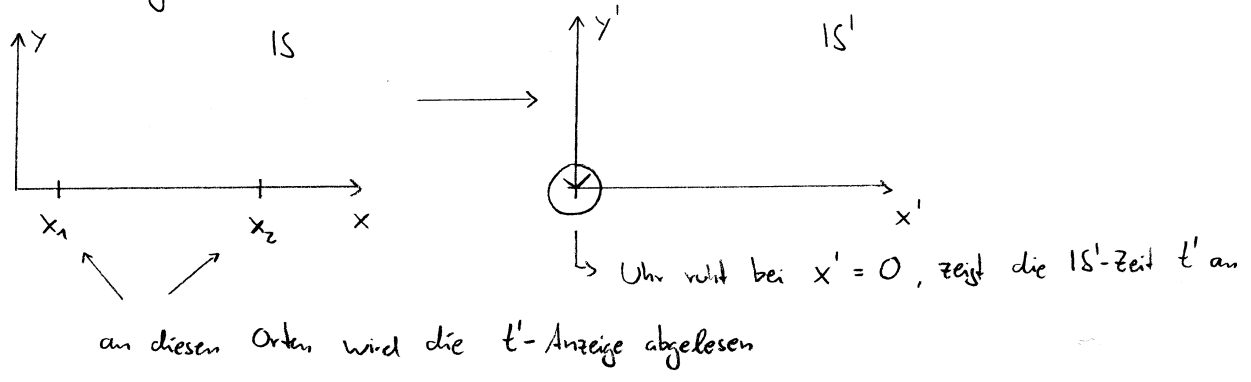
$$\text{für } t_2' \text{ folgt damit: } ct_2' = -\gamma \frac{v}{c} \frac{1}{\gamma} l_0 = -\frac{v}{c} l_0 \leq 0 !$$

d.h. Ereignis 1 und 2 sind gleichzeitig in IS, aber nicht gleichzeitig in IS'

Achtung: die Längenkontraktion ist eine Aussage, die sich auf eine bestimmte Messvorschrift bezieht!

bewegte Uhr

betrachte den Gang einer in IS' ruhenden Uhr von IS aus



→ definieren zwei Ereignisse

1: IS'-Uhr passiert Beobachter in IS bei $x_1 = 0$ zur Zeit $t_1 = 0$

Koordinaten $x_1 = 0, t_1 = 0$
 $x_1' = 0, t_1' = 0$

2: IS'-Uhr passiert Beobachter in IS bei $x_2 = vt_2$ zur Zeit t_2

Koordinaten $x_2 = vt_2, t_2$
 $x_2' = 0, t_2'$

spezielle Lorentz-Transformation

$$\rightarrow \text{für Ereignis 2: } ct'_2 = \gamma(ct_2 - x_2 \frac{v}{c}) \\ = \gamma(ct_2 - \frac{v^2}{c^2} t_2)$$

$$\Rightarrow t'_2 = t_2 \gamma(1 - \frac{v^2}{c^2}) = t_2 \sqrt{1 - \frac{v^2}{c^2}}$$

beim Ereignis 2 zeigt die bewegte Uhr: $t_0 = t'_2 - t'_1 = t'_2$
 $= \text{IS-Zeitintervall zwischen E1 und E2}$

und eine IS-Uhr bei x_2 : $t = t_2 - t_1 = t_2$
 $= \text{IS-Zeitintervall zwischen E1 und E2}$

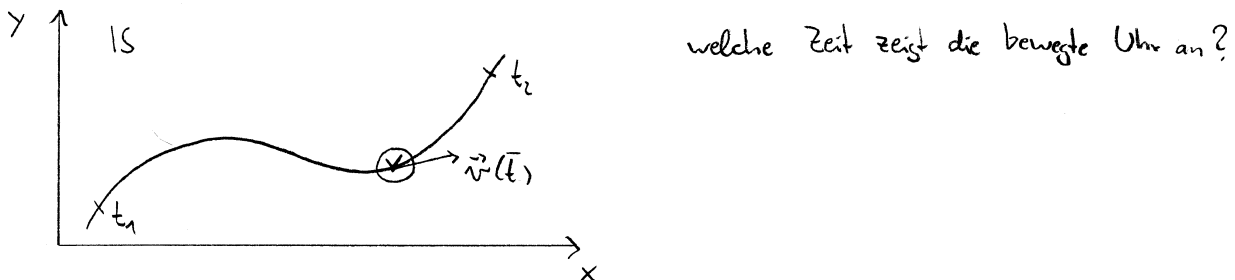
$$\Rightarrow \text{Zeitdilatation} \quad \boxed{t = t_0 \cdot \frac{1}{\sqrt{1 - \frac{v^2}{c^2}}}} \quad \text{d.h. } t > t_0 \text{ für } v \neq 0$$

d.h. die bewegte Uhr geht nach im Vergleich zu den IS-Uhren

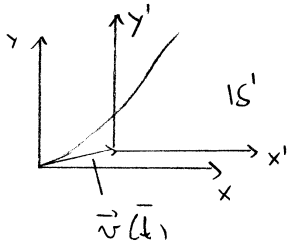
Achtung: die verkürzte Aussage „eine bewegte Uhr geht langsam“ ist problematisch!

Eigenzeit

jetzt: eine Uhr bewegt sich relativ zu IS mit einer zeitabhängigen Geschwindigkeit $\vec{v}(t)$



für $t = \bar{t} \rightarrow$ führe ein IS' ein, das sich mit der konstanten Geschwindigkeit $\vec{v}(\bar{t})$ relativ zu IS bewegt



Zunächst: Zeitdilatation für Bewegung in beliebige Richtung:

$$t = \frac{t_0}{\sqrt{1 - \vec{v}^2/c^2}}$$

\Rightarrow Zeitintervall für IS-Uhr $dt' = dt \sqrt{1 - \vec{v}(t)^2/c^2}$

$= d\tau$: Zeitintervall auf der bewegten Uhr

das gesamte Zeitintervall

$$\boxed{\tau = \int_{t_1}^{t_2} dt \sqrt{1 - \frac{\vec{v}(t)^2}{c^2}}}$$

τ : Eigenzeit

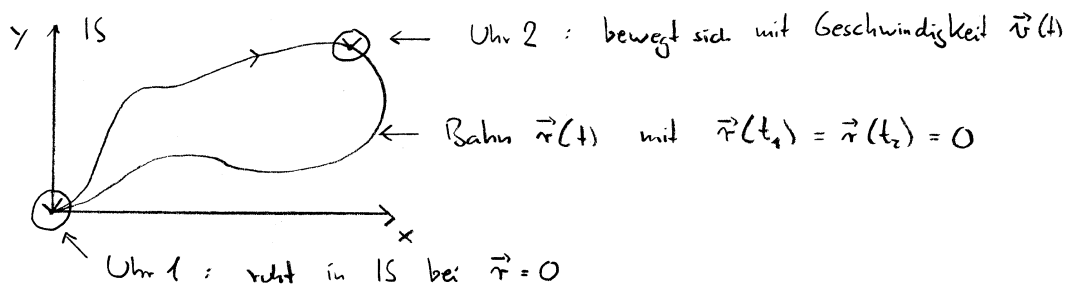
\rightarrow ist eine von IS unabhängige Größe

- für $\vec{v}(t) = 0$ gilt:

$$\tau = t_2 - t_1$$

- für $\vec{v}(t) \neq 0$ gilt: $\sqrt{1 - \frac{\vec{v}(t)^2}{c^2}} < 1$

$$\Rightarrow \tau < t_2 - t_1$$



Anzeige der beiden Uhren zur IS-Zeit t_2 : Uhr 1 $\rightarrow t_2$

$$\text{Uhr 2} \rightarrow t_1 + \tau < t_2$$

Gleichzeitigkeit

Frage: Inwieweit ist die zeitliche Reihenfolge von Ereignissen willkürlich?

betrachte zwei Ereignisse:

$$\text{Ereignis 1 : } \begin{cases} x_1 = 0, t_1 = 0 \\ x'_1 = 0, t'_1 = 0 \end{cases}$$

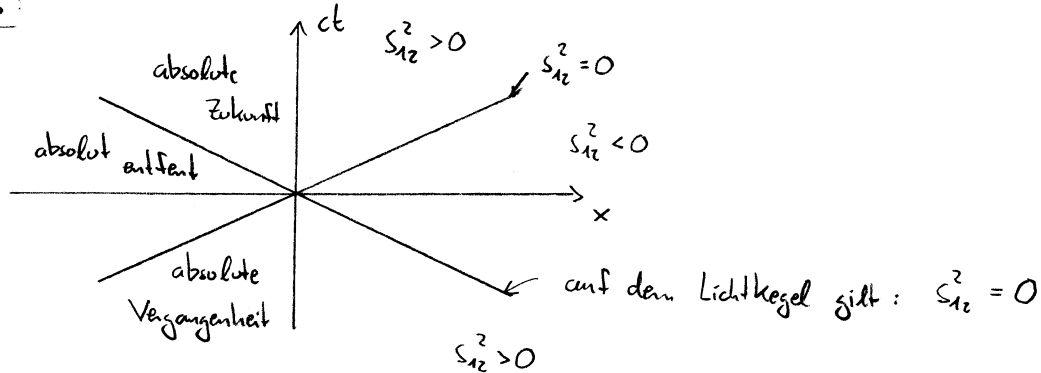
$$\text{Ereignis 2 : } \begin{cases} x_2 = x, t_2 = t \\ x'_2 = x', t'_2 = t' \end{cases}$$

Abstand der beiden Ereignisse:

$$S_{12}^2 = c^2 t^2 - x^2 \stackrel{!}{=} c^2 t'^2 - x'^2 \quad \left\{ \begin{array}{ll} = 0 & \text{lichtartig} \\ < 0 & \text{raumartig} \\ > 0 & \text{zeitartig} \end{array} \right.$$

→ diese Klassifizierung ist unabhängig vom gewählten Inertial-system!

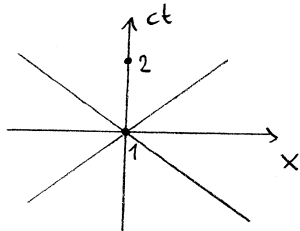
Darstellung in IS:



Beispiele:

- $x_2 = 0, t_2 = t$

$$\Rightarrow S_{12}^2 = c^2 t^2 > 0 \sim \text{zeitartig}$$

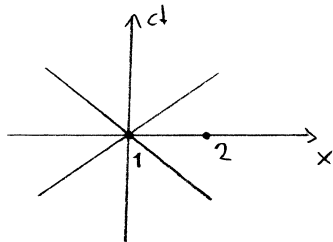


- E2 auf jeden Fall nach E1

- die beiden Ereignisse können kausal zusammenhängen

- $x_2 = x, t_2 = 0$

$$\Rightarrow S_{12}^2 = -x^2 < 0 \sim \text{raumartig}$$



- zeitliche Abfolge abhängig vom Inertialsystem

- E1 und E2 können nicht kausal zusammenhängen

A.2.4 Lorentzgruppe, Lorentz-tensoren

allgemeine Galilei-Transformation zwischen zwei Inertialsystemen IS und IS'

$$x'_i = \sum_{j=1}^3 \alpha_{ij} x_j - v_i t - a_i \quad \text{und} \quad t' = t - t_0$$

a_i, t_0 : Konstante Verschiebung in Ort bzw. Zeit